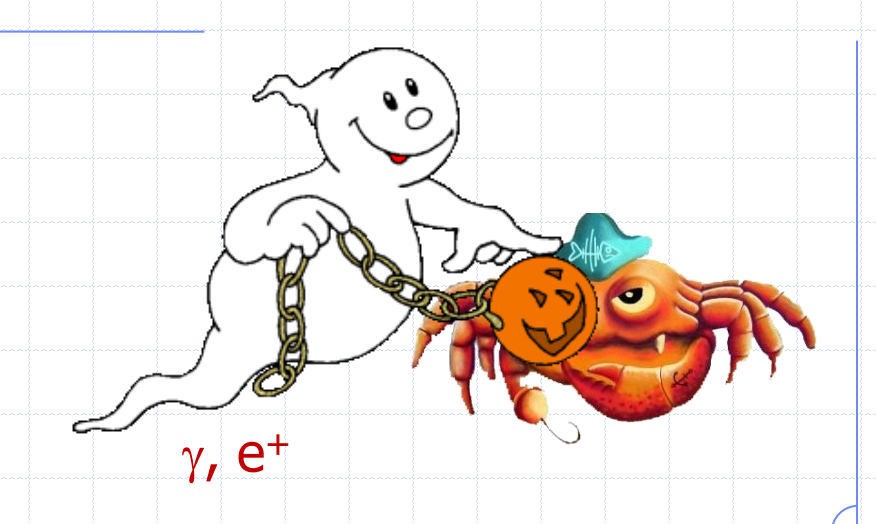
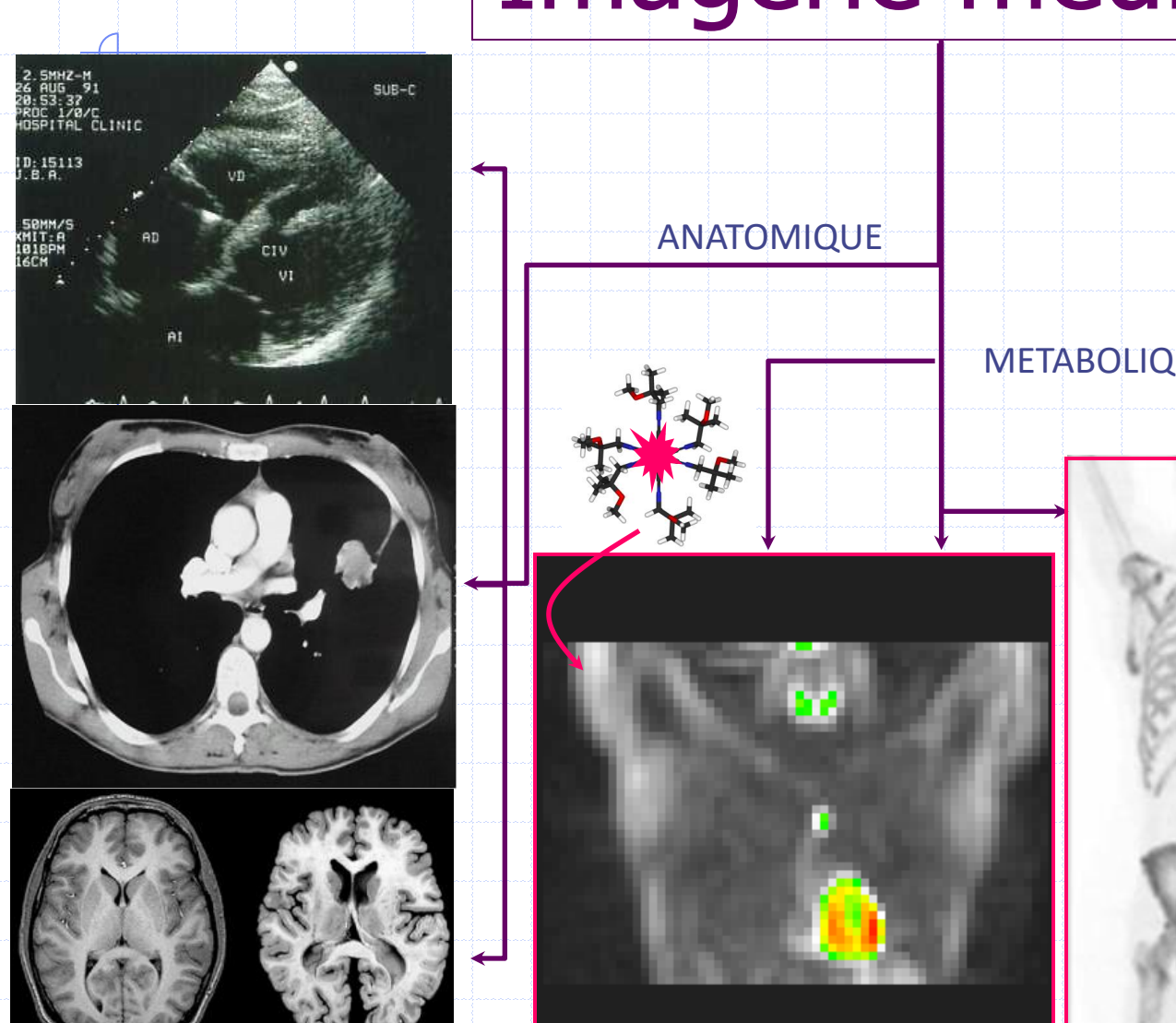


## IMAGERIE SCINTIGRAPHIQUE MEDECINE NUCLEAIRE

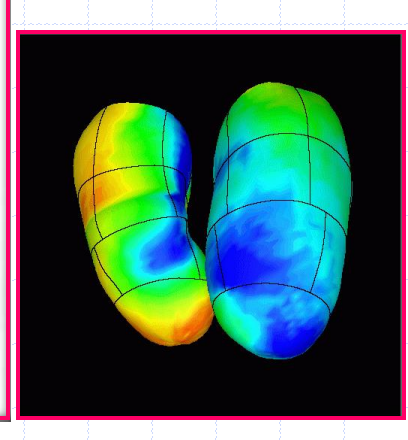


UE BIOPHYSIQUE ET BASES D'IMAGERIE denis.mariano-goulart@umontpelluer.fr <a href="http:\\scinti.edu.umontpellier.fr">http:\\scinti.edu.umontpellier.fr</a>

## Imagerie médicale

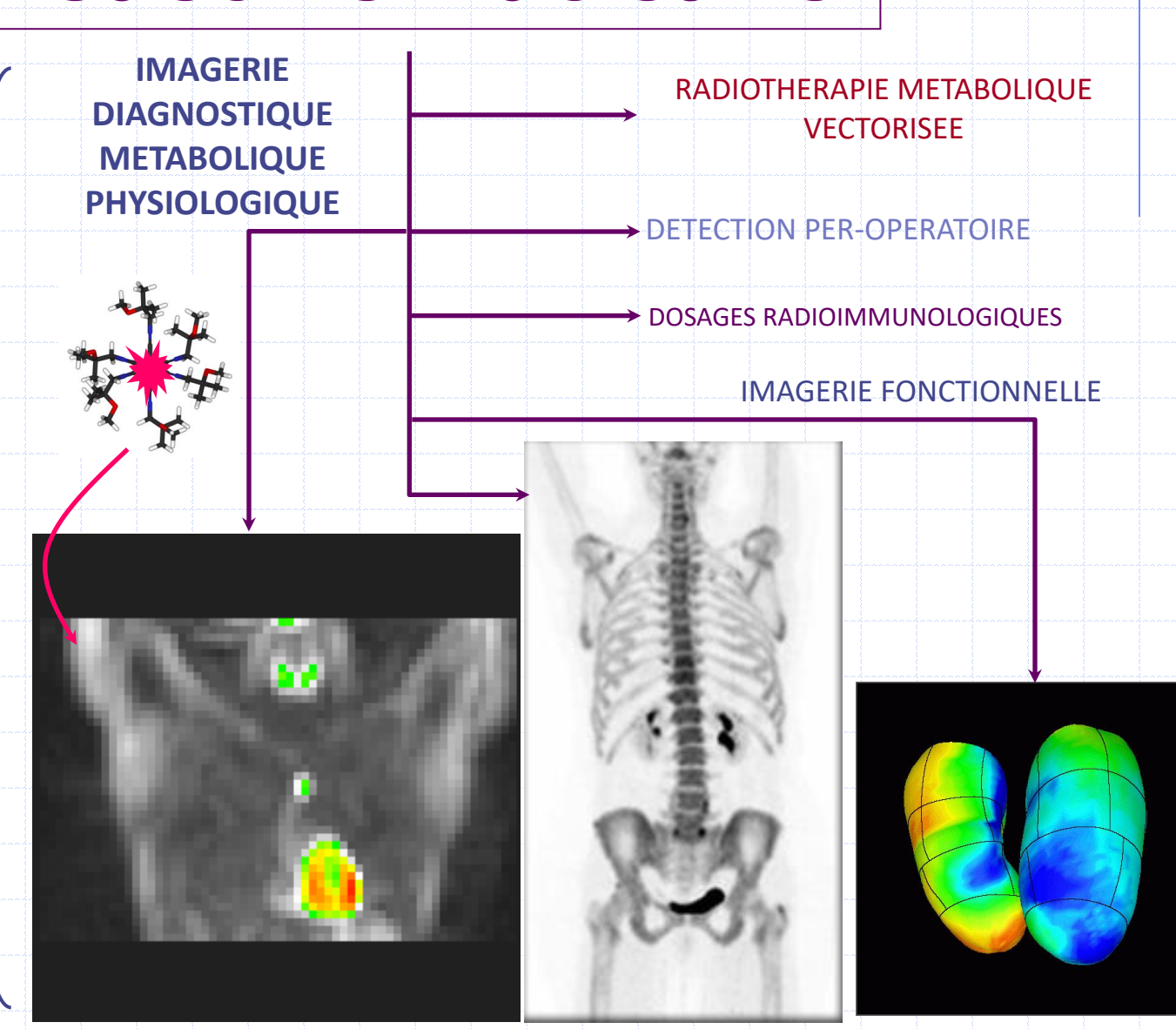






### Médecine Nucléaire

Utilisation de marqueurs radioactifs pour tracer le devenir d'un vecteur (atome, molécule, cellule) dans un but diagnostique OU thérapeutique



## UN PEU D'HISTOIRE



RAγ

1900



détecteur à scintillation

γ-caméra Traceurs cliniques γ

1979

**FDG** 

1970

1956

VECTEUR

CZT

2000 2005

**TEP** 

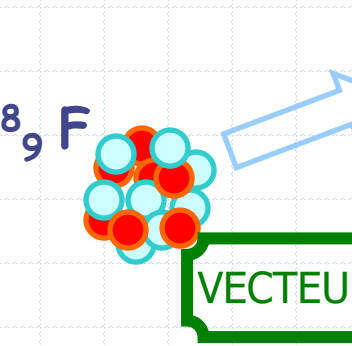
RAA, β<sup>+</sup>

1934

 $^{27}_{13}Al + ^{4}_{2}He \rightarrow ^{30}_{15}P + ^{1}_{0}n \rightarrow ^{30}_{14}Si + ^{0}_{1}e^{+} + \nu$ 

1940 1950 détecteur à coïncidence

Irène & Frédéric Joliot-Curie



e

## TRACEUR = MARQUEUR + VECTEUR

• Marqueur: Isotope radioactif artificiel (T 🗵):

Diagnostic : détectable (traverse le corps, peu diffusé)  $\Rightarrow \gamma$  ou  $\beta^+$  .

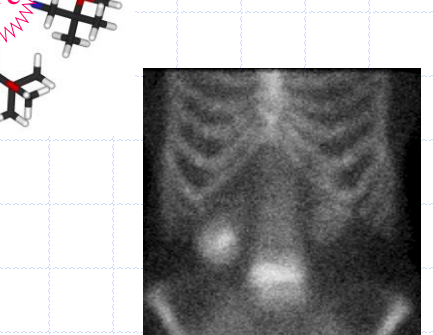
Thérapie : irradiant à parcours court  $\Rightarrow \alpha$  ou  $\beta$ -.

Vecteur: Ø, molécule, aérosols, verre, cellule,

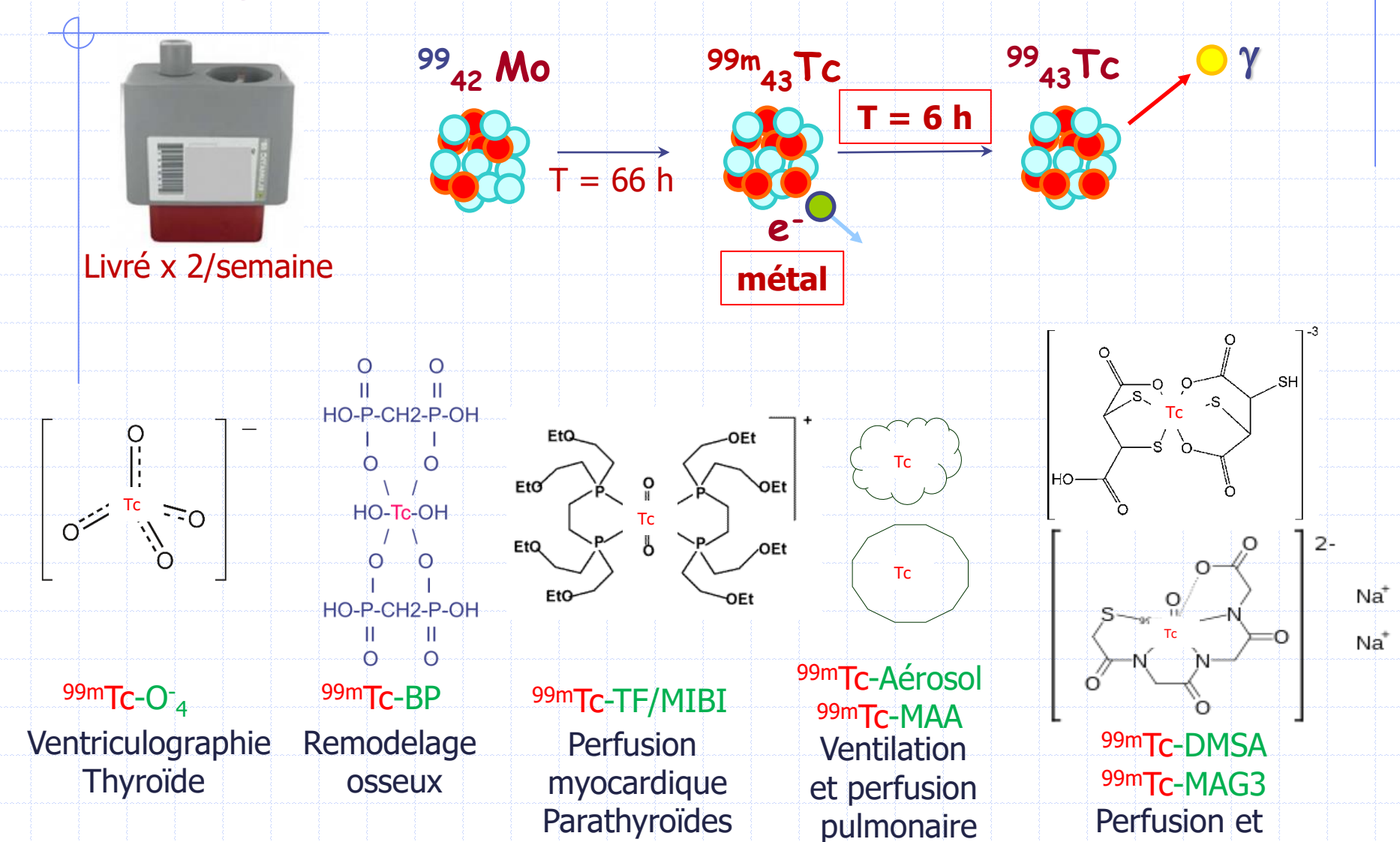
<u>Affinité</u> chimique avec marqueur (halo/chalcogènes/métaux) <u>Ciblage</u> : métabolisme, récepteur, perfusion, fonction

• Traceur: Marqueur lié au vecteur

 Scintigraphie: image de la distribution du traceur

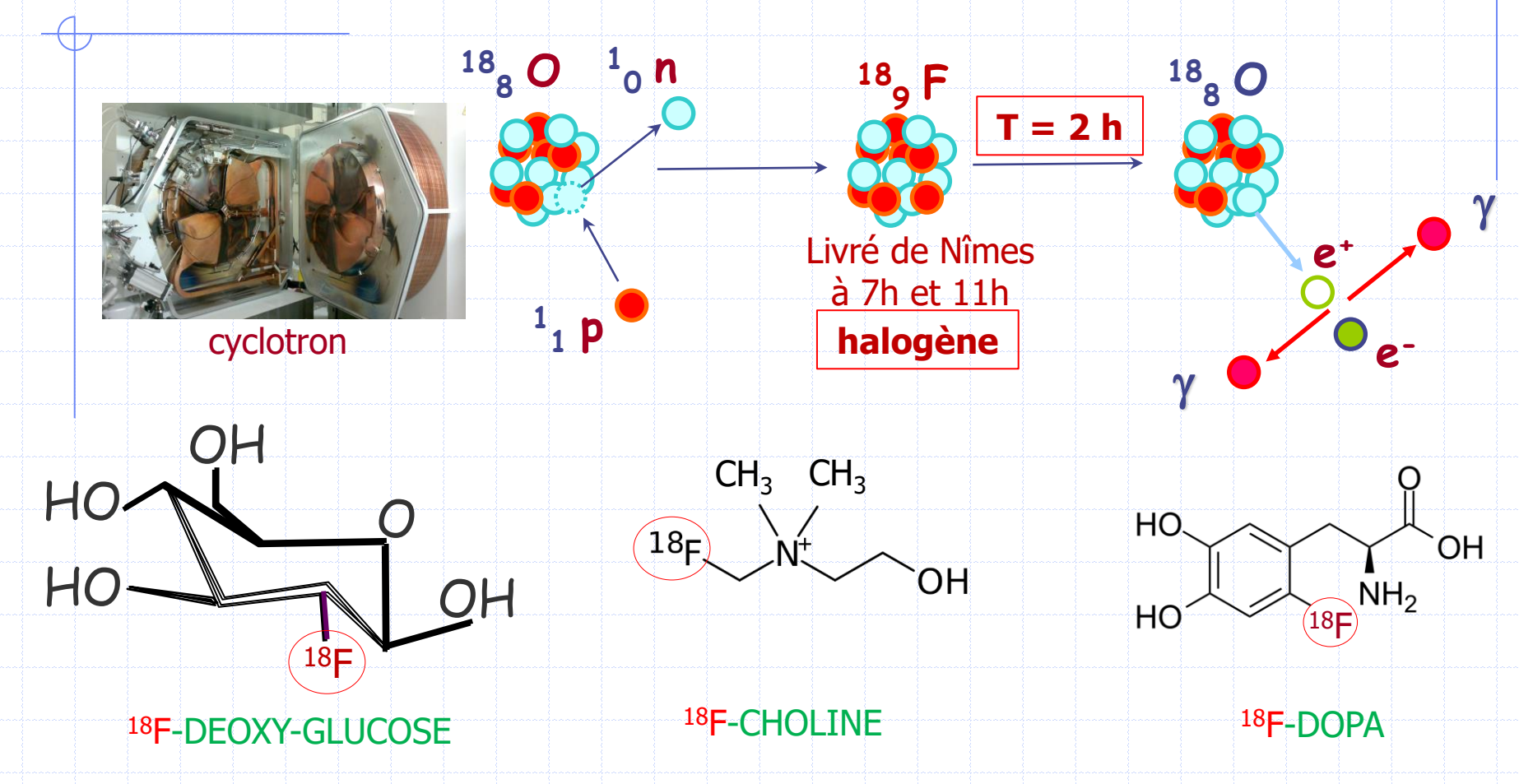


### 1 MARQUEUR PRINCIPAL en SPECT: 99mTc



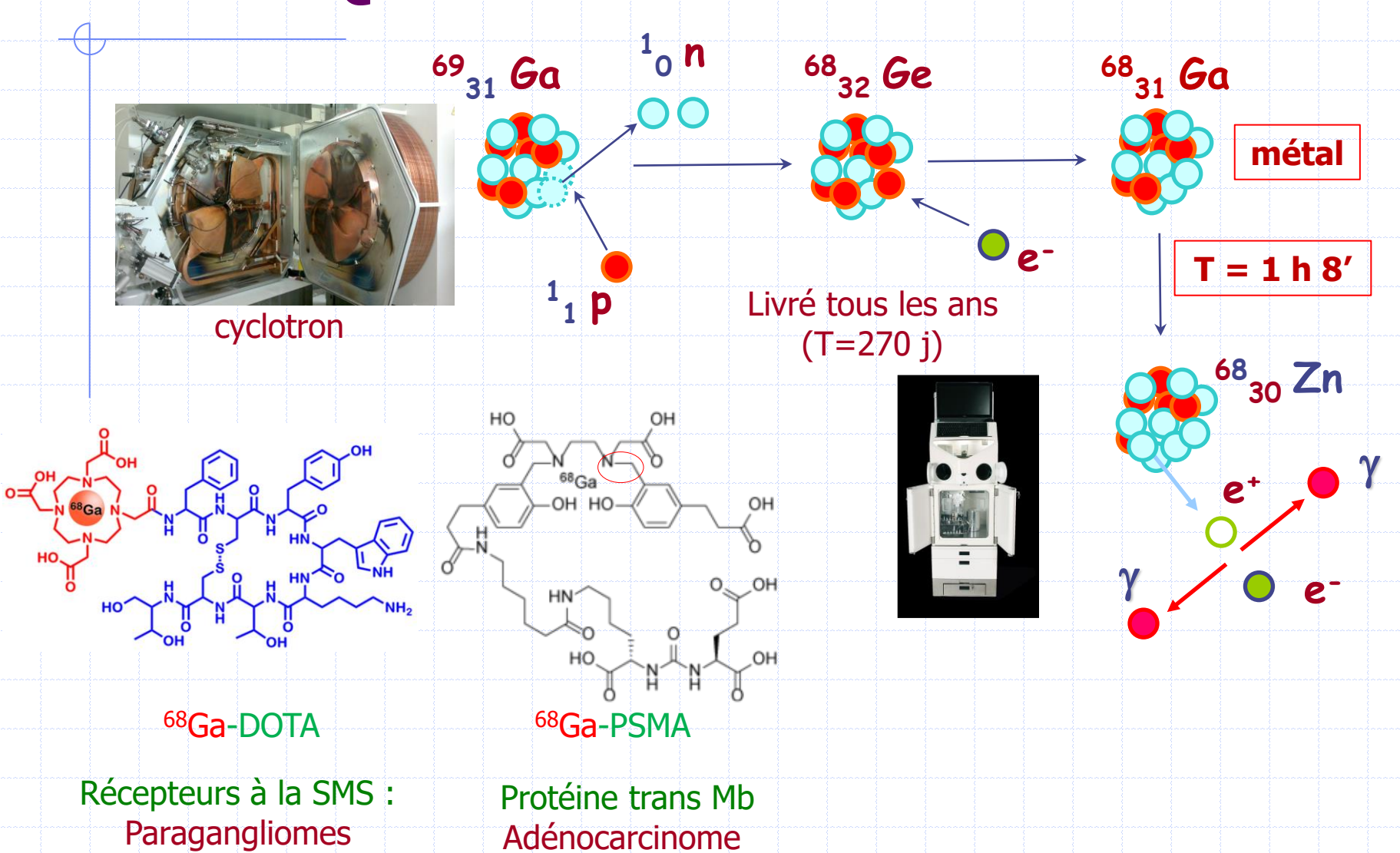
fonction rénale

## 2 MARQUEURS en TEP: 18Fluor



Métabolisme glucidique Cancers peu différenciés Inflammation, Ischémie A JEUN (6 H mini, sans perf) Synthèse de Mb cellulaire Carcinome hépato-cellulaire Hyperparathyroïdie, prostate A JEUN (4 H mini, sans perf) Métabolisme adrénergique Phéochromocytome, CMT, TNE [Vater, mi-colon transverse] A JEUN (6 H mini, sans perf)

## 2 MARQUEURS en TEP: 68 Gallium



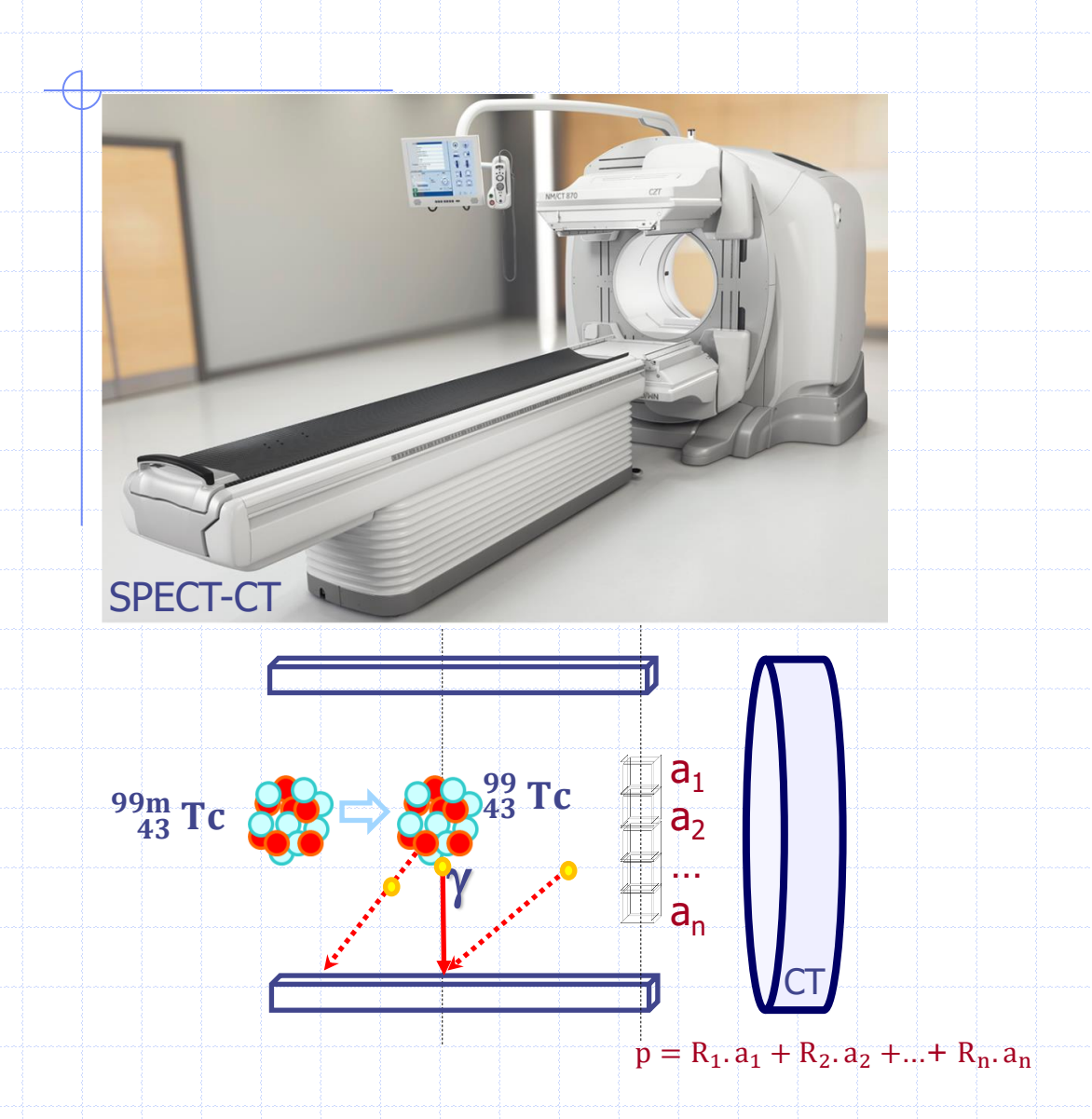
de prostate

TNE < ampoule Vater

#### SYNTHESE 1

- Imagerie moléculaire et fonctionnelle
- Détection per-opératoire, thérapie et RIA
- Marqueur radio-isotope artificiel :
  - $\gamma$  (TEMP),  $\beta$ + (TEP),  $\beta$  (Thérapeutique)
- Vecteur: atome, molécule(s), cellule
- Liaison facile halo-chalcogènes (123I, 18F)
- Groupe complexant pour les métaux (99mTc, 68Ga)

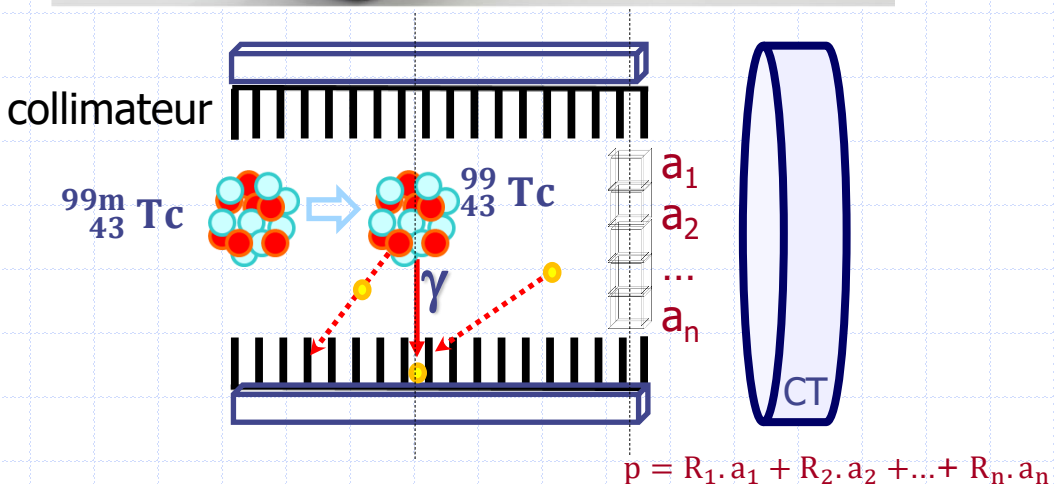
## GAMMA-CAMERA $\gamma$ = TEMP = SPECT\*

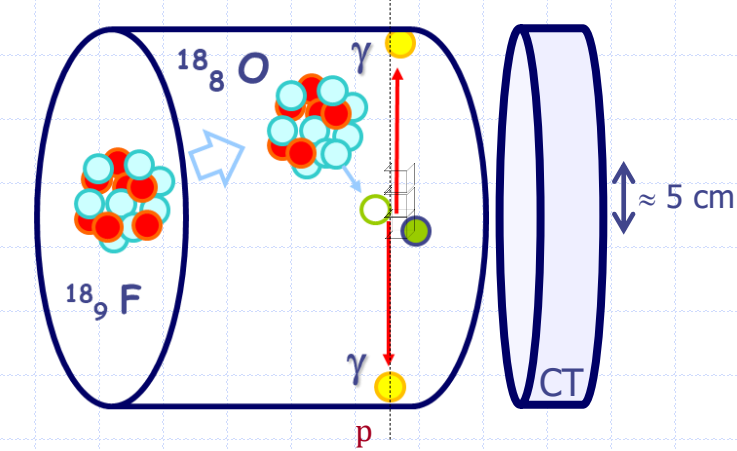


## GAMMA-CAMERA $\gamma$ = TEMP = SPECT\* GAMMA-CAMERA $\beta$ += TEP = PET\*





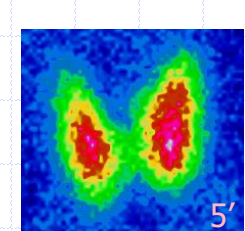




<sup>\*</sup> Tomographie par Emission / de Positons / Mono Photonique = Single Photon Emission Computed Tomography

## MODES D'ACQUISITION

• Planaire (statique, projection :  $\gamma$ )

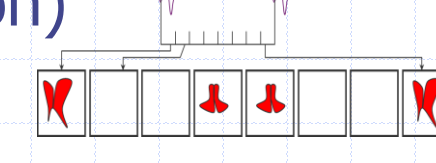


Corps entier

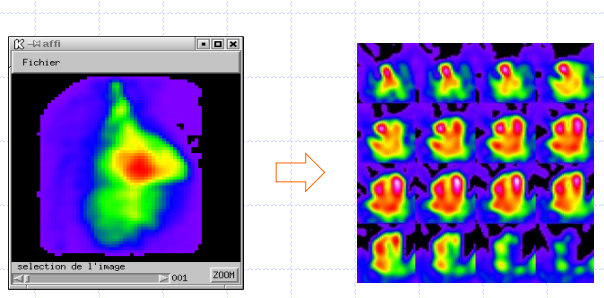
Dynamique

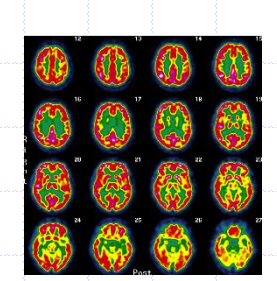


Synchronisé (ECG, respiration)



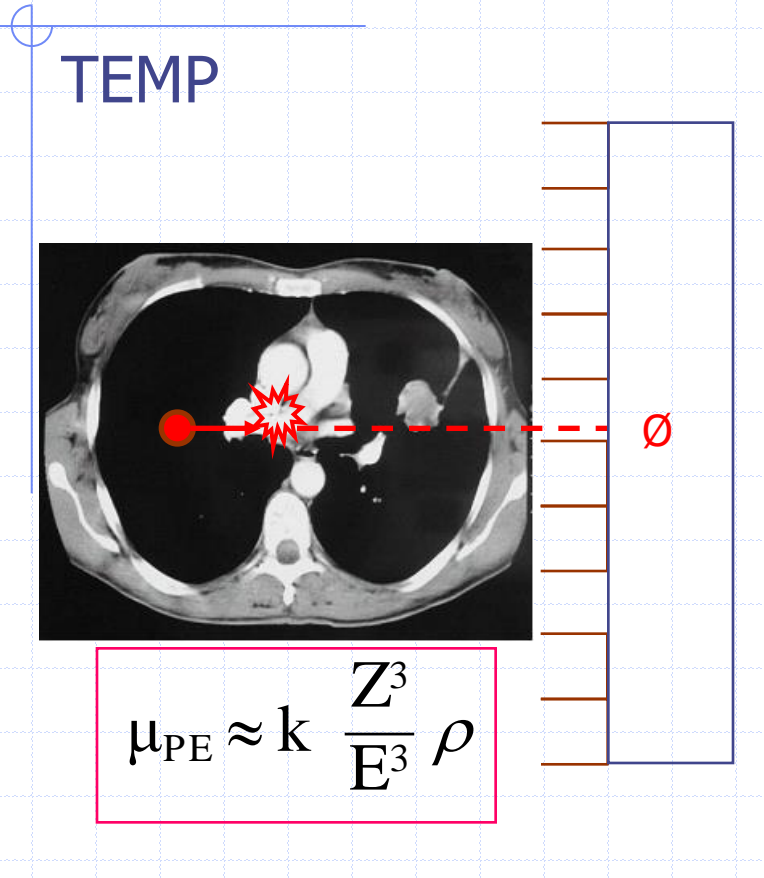
Tomographique
 (TEMP, TEP)

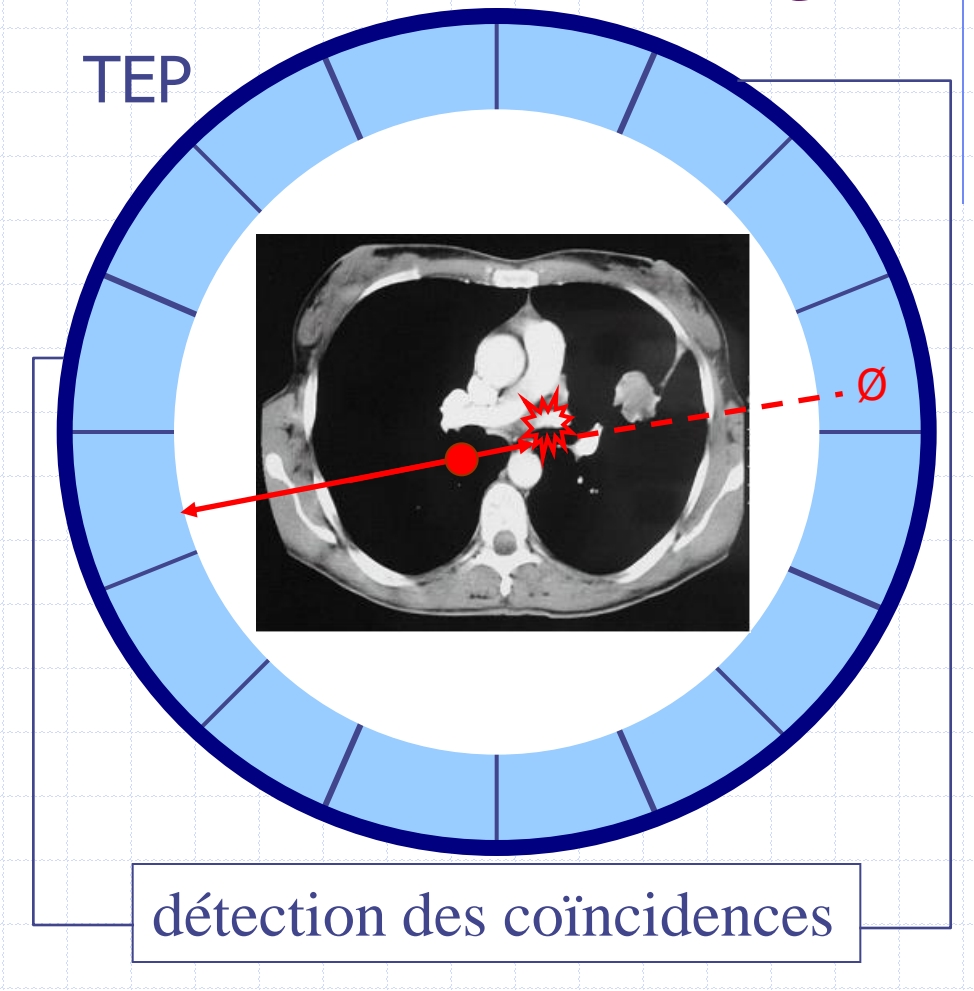




30' 5' en CZT

## ATTENUATION PHOTO-ELECTRIQUE

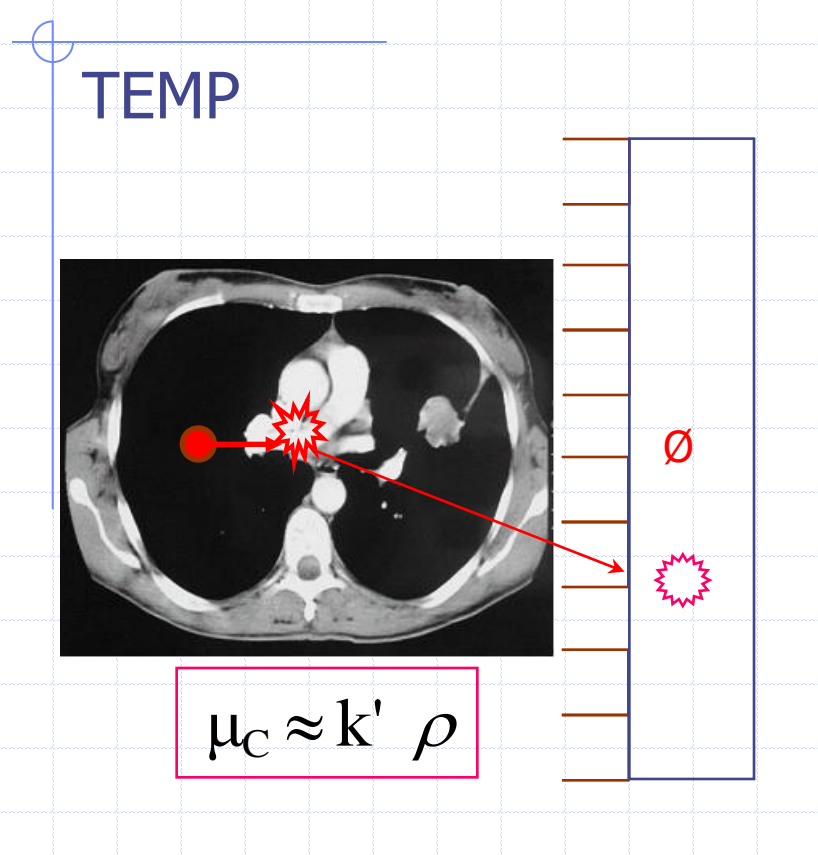


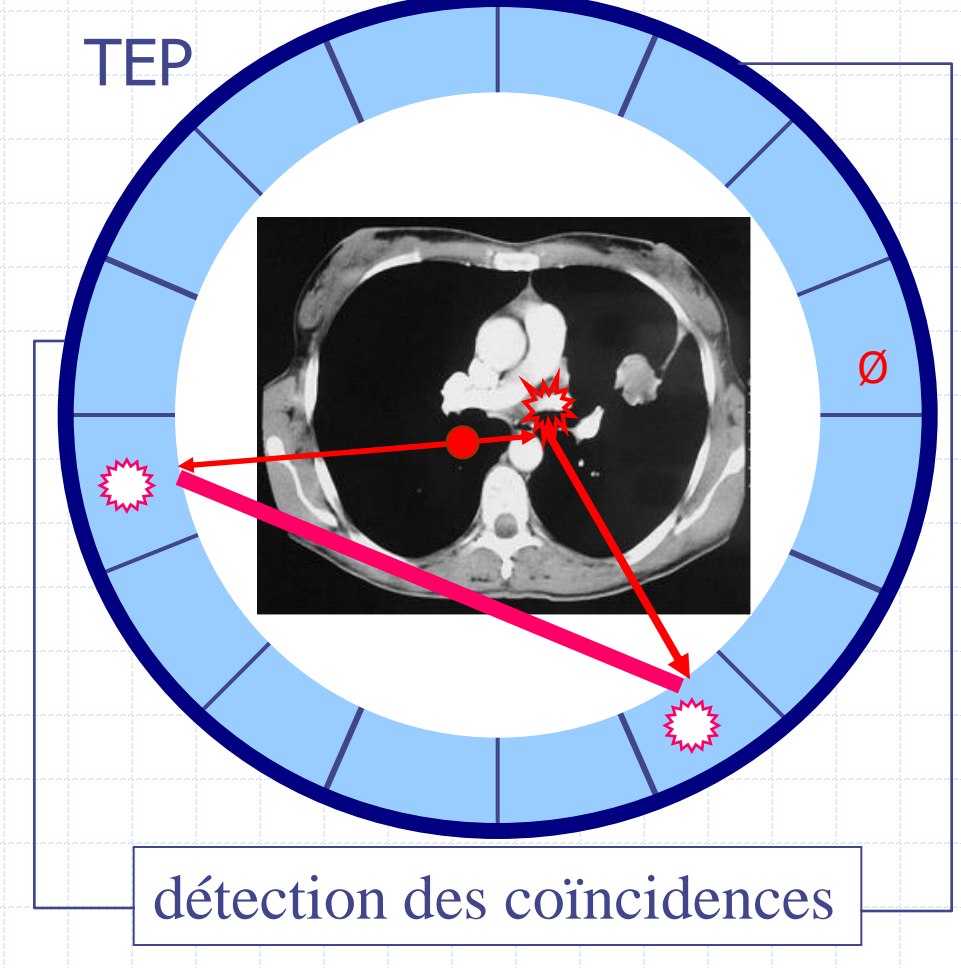


Mineur par rapport à l'atténuation Compton à 70-511 keV en scintigraphie

IMAGERIE TRACEURS SCINTIGRAPHIE DIAGNOSTIC THERAPIE RIA DOSIMETRIE

#### ATTENUATION COMPTON





Mode d'atténuation majeur en scintigraphie (70-511 keV)

### ATTENUATIONS (C et PE)

E (keV)	CDA <sub>eau</sub> (cm)	2-30/CDA
70	3	0,1 %
511	7	5 %

Flou

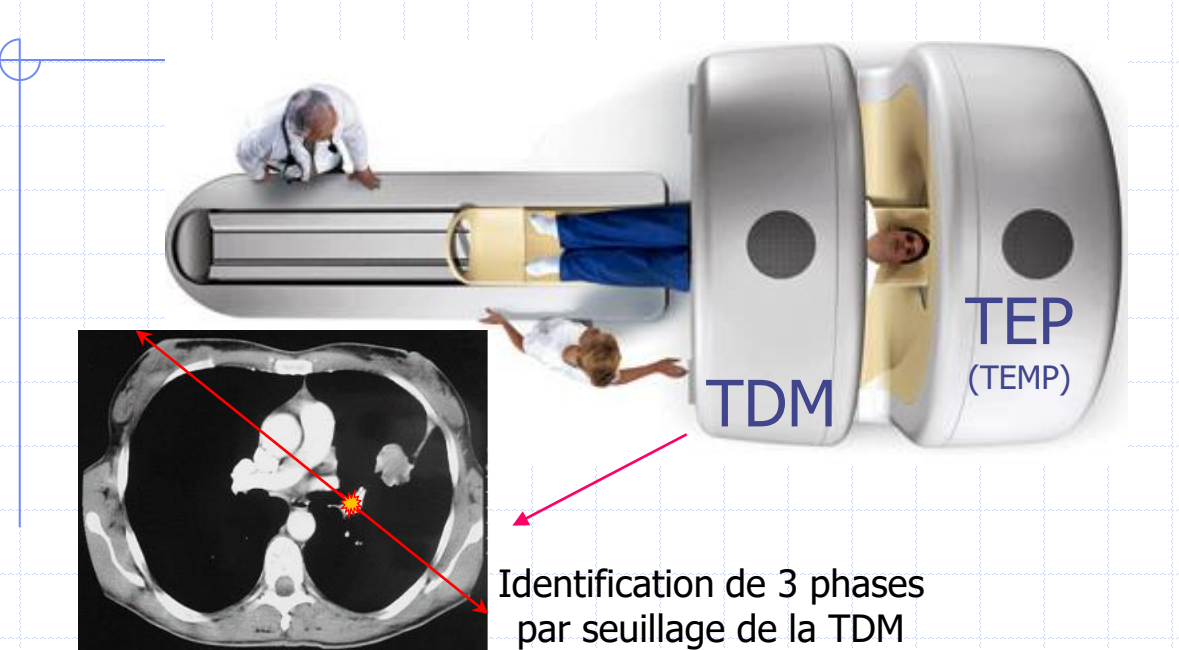
Sous-estimation des activités profondes

$$\mu_{\rm C} \approx k' \rho$$

$$\mu_{\rm PE} \approx k \frac{Z^3}{E^3} \rho$$

La correction nécessite la connaissance des p traversés

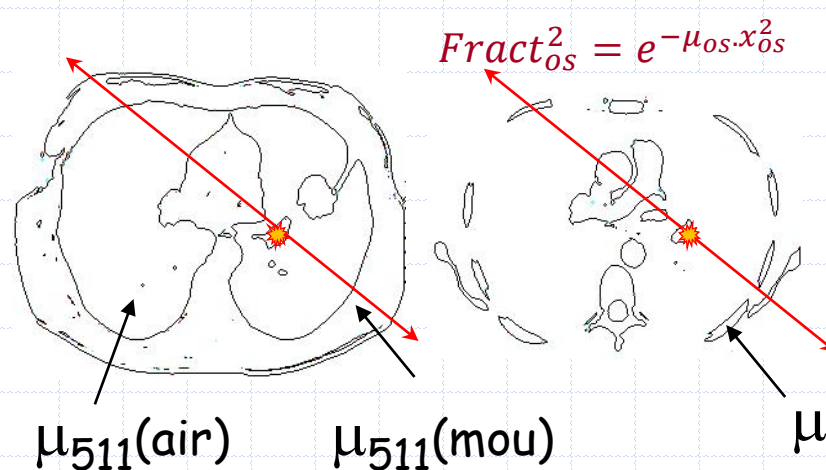
### CORRECTION DE L'ATTENUATION



projections brutes

projections multipliées par

 $\rho \mu_{air}.x_{air} + \mu_{mou}.x_{mou} + \mu_{os}.x_{os}$ 

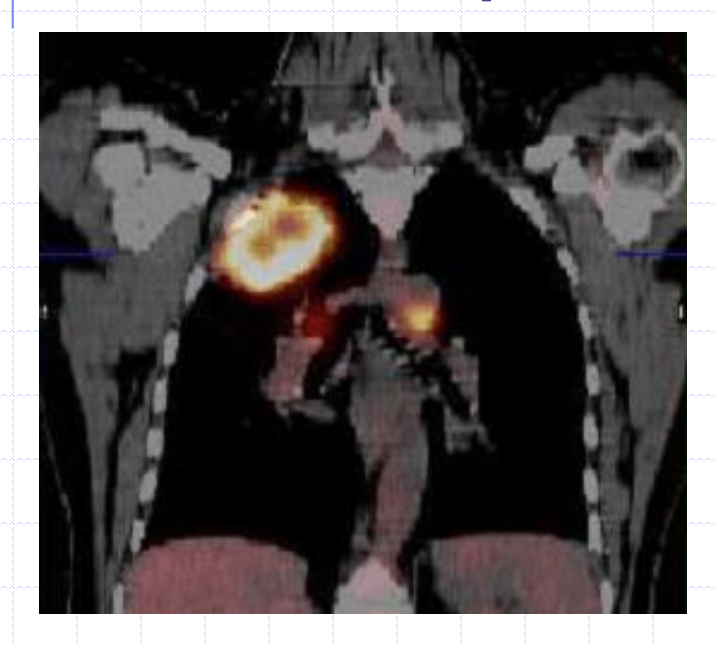


 $Fract_{os} = e^{-\mu_{os}.x_{os}}$  $x_{os} = x_{os}^1 + x_{os}^2$ 

 $Fract_{os}^1 = e^{-\mu_{os}.x_{os}^1}$  $\mu_{511}(os)$ 

#### IMAGERIE MULTIMODALE CORRIGEE

- Correction d'atténuation
- Localisation anatomique

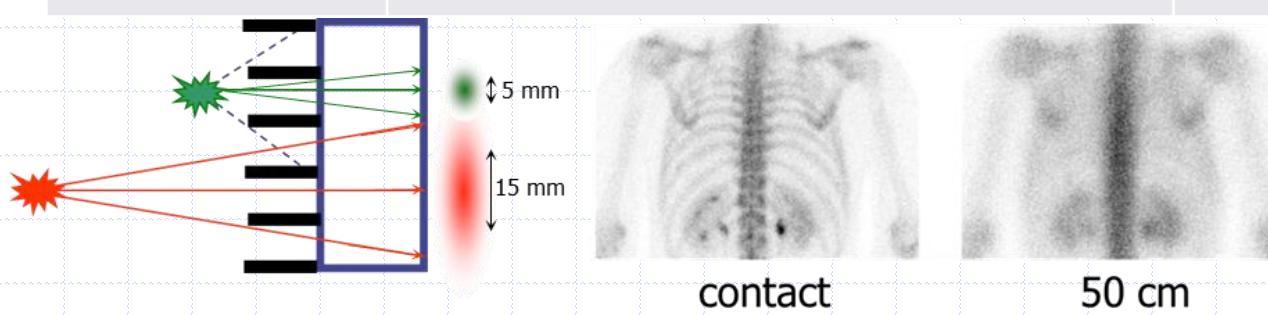




Interprétation multimodale

## IMAGERIE SPECT et PET:

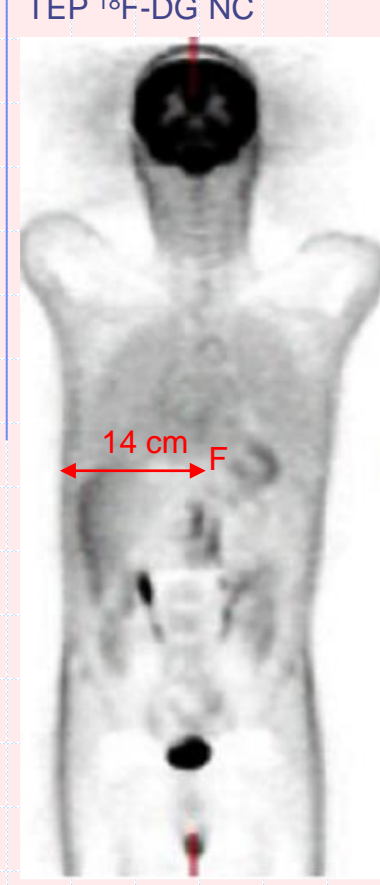
	SPECT	PET
ACQUISITIONS	PLANAIRE (sauf CZT dédiée) TOMOGRAPHIQUE	TOMOGRAPHIQUE
MODES	FOCALISE / CORPS ENTIER  DYNAMIQUE (film)  SYNCHRONISE (ECG, RESPIRATION)	
CORRECTION	moyenne géométrique en planaire difficile par CT en tomographie	facile par CT
FWHM (résolution)	Planaire: 5 à 15 mm Tomographie: 15 mm (CZT 5 mm)	5 mm



RAPPEL (EVP) : Baisse de sensibilité si  $\emptyset$  < 2 x FWHM

### Annale 2° session 2021-2022

TEP <sup>18</sup>F-DG NC



- 1- Marqueur et traceur utilisé?
- 2- Rayonnement enregistré?
- 3- Deux phénomènes physiques qui dégradent l'image?
- 4- Lequel domine, de quoi dépend-il principalement ?
- 5- CDA = 7 cm  $\Rightarrow$  coef. Linéaique d'atténuation = ?
- 6- % de  $\gamma$  issus de F non atténués ?
- 7- % de désintégrations en F détectées sans atténuation ?
- 8- Quelle imagerie / paramètre utiliser pour corriger ?

Donnée : In 2 = 0,7

F18 / déoxyglucose γ 511 keV en coïncidence

Photo électrique / Compton

Compton; masse volumique

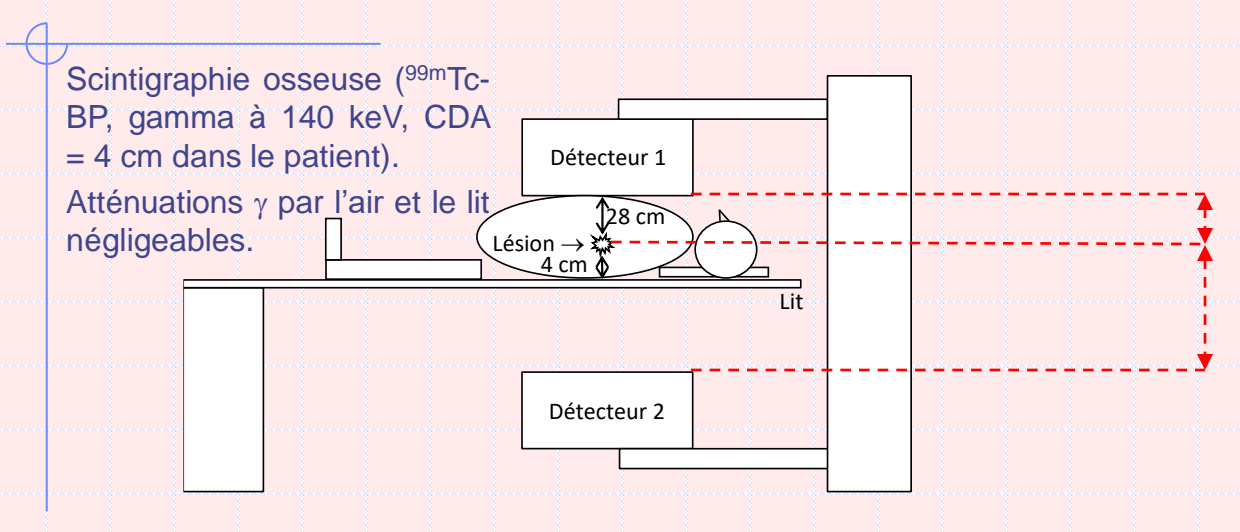
ation = ?  $\mu = \ln 2/\text{CDA} = 0.7/7 = 0.1 / \text{cm} = 10\% / \text{cm}$ 14 cm = 2.CDA  $\Rightarrow$  N=N<sub>0</sub>.2-x/CDA = N<sub>0</sub>/4 = 0,25. N<sub>0</sub> soit 25%

2 0 1 1 1 1/ 1/ 1/16 6 2 2/

Coïncidence: ¼ x ¼ = 1/16 = 6,3 %

CT; masse volumique

## Annale 1° session 2023-2024



1- Deux modes physiques principaux d'atténuation des  $\gamma$  par les tissus du patient ? Lequel est prépondérant ? Représentez-les.

Compton > Photo-électrique

- 2- Résolution détecteurs 1 = 2 ?
- Non: collimateur  $\Rightarrow$  R dépend de la distance lésion-détecteurs, qui est différente.

3-12/11=?

 $I = I_0 \times 2^{-x/CDA} \Longrightarrow I_1 = I_0/128 \text{ et } I_2 = I_0/2 : I_2/I_1 = 64$ 

4- Tomographie: comment?

- En faisant tourner les détecteurs sur au moins 180°
- 5- Signification physiologique d'une hyperfixation?
- Activation des osteoblastes/remodelage osseux  $\forall$  cause

### SYNTHESE 2

- Modes d'acquisition :
  - · Planaire, dynamique, corps-entier,
  - tomographique, synchronisé
- Importance de l'effet de volume partiel
  - Détecteur proche du patient
  - Sous estimation de l'activité des structures < 2.FWHM</li>
    - Soit Ø < 10 mm en TEP/CZT et 10 à 30 mm en TEMP</li>
- Couplage à une TDM (scanner X) :
  - · Pour correction des artefacts d'atténuation
  - Pour localisation anatomique
  - Pour interprétation multimodale

#### IMAGERIE TRACEURS SCINTIGRAPHIE DIAGNOSTIC THERAPIE RIA DOSIMETRIE

#### Principales scintigraphies diagnostiques

## Reconnaître les captations physiologiques des traceurs en scintigraphie et tomographie par émission de positrons (TEP)

lder	ntifiant		
In	titule	Reconnaître les captations physiologiques des traceurs en scintigraphie et tomographie par émission de positrons (TEP)	
	maine rentissage	Iconographie	
Compéten	nce générique	Réfléxif	

## Identifier l'examen d'imagerie médicale pertinent pour le diagnostic/suivi d'une pathologie

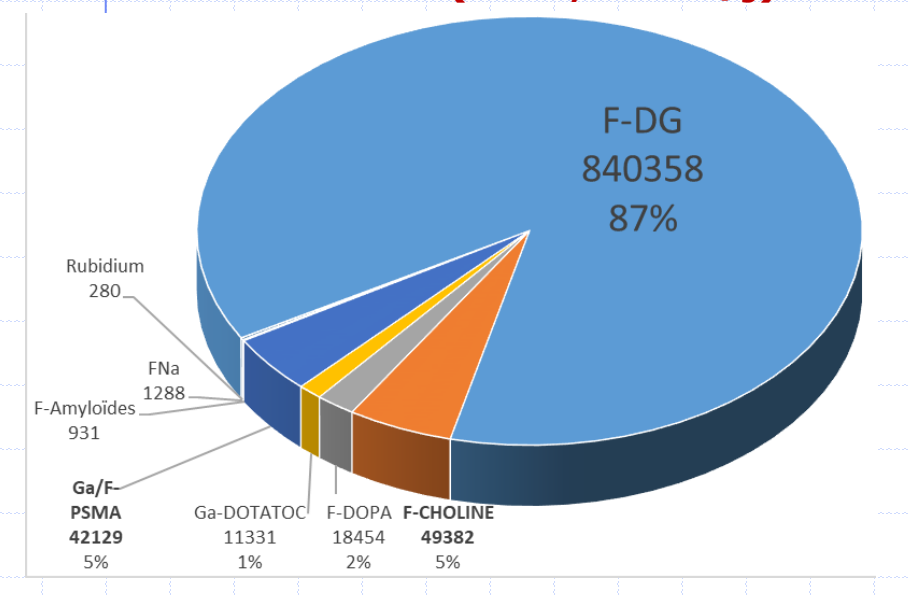
Identifiant	
Intitule	Identifier l'examen d'imagerie médicale pertinent pour le diagnostic/suivi d'une pathologie
Domaine d'apprentissage	Stratégie diagnostique
Compétence générique	Réfléxif

Catégorie : Attendu d'apprentissage

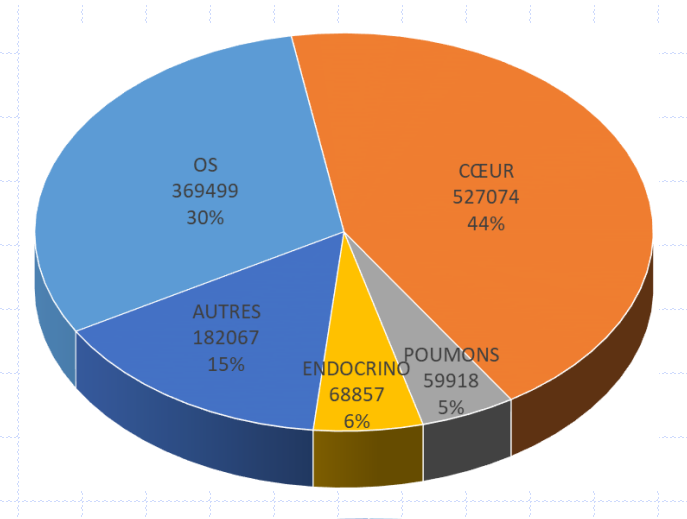
### France, 2024: 2,3 10<sup>6</sup> patients pris en charge

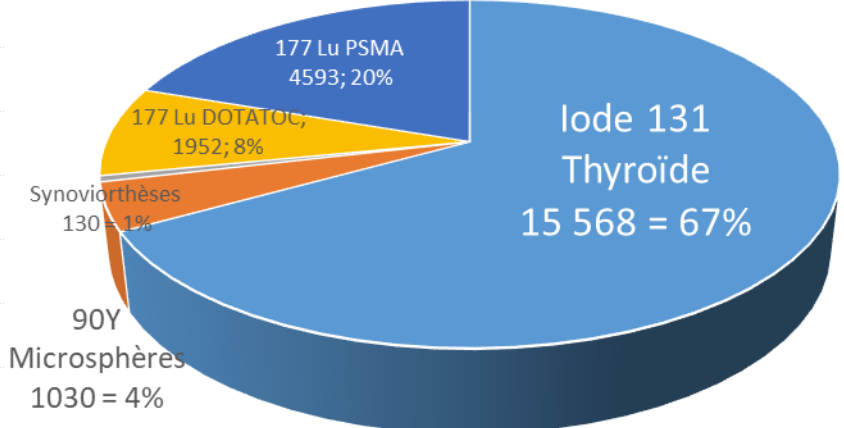
150 centres de médecine nucléaire 700 caméras: 2/3 TEMP + 1/3 TEP 827 médecins nucléaires + 147 internes

#### 1 040 693 TEP (46%, 4 170/j)



#### 1 207 415 TEMP (54%, 4 830/j)





THERAPIE: 23 273 patients (93/j)

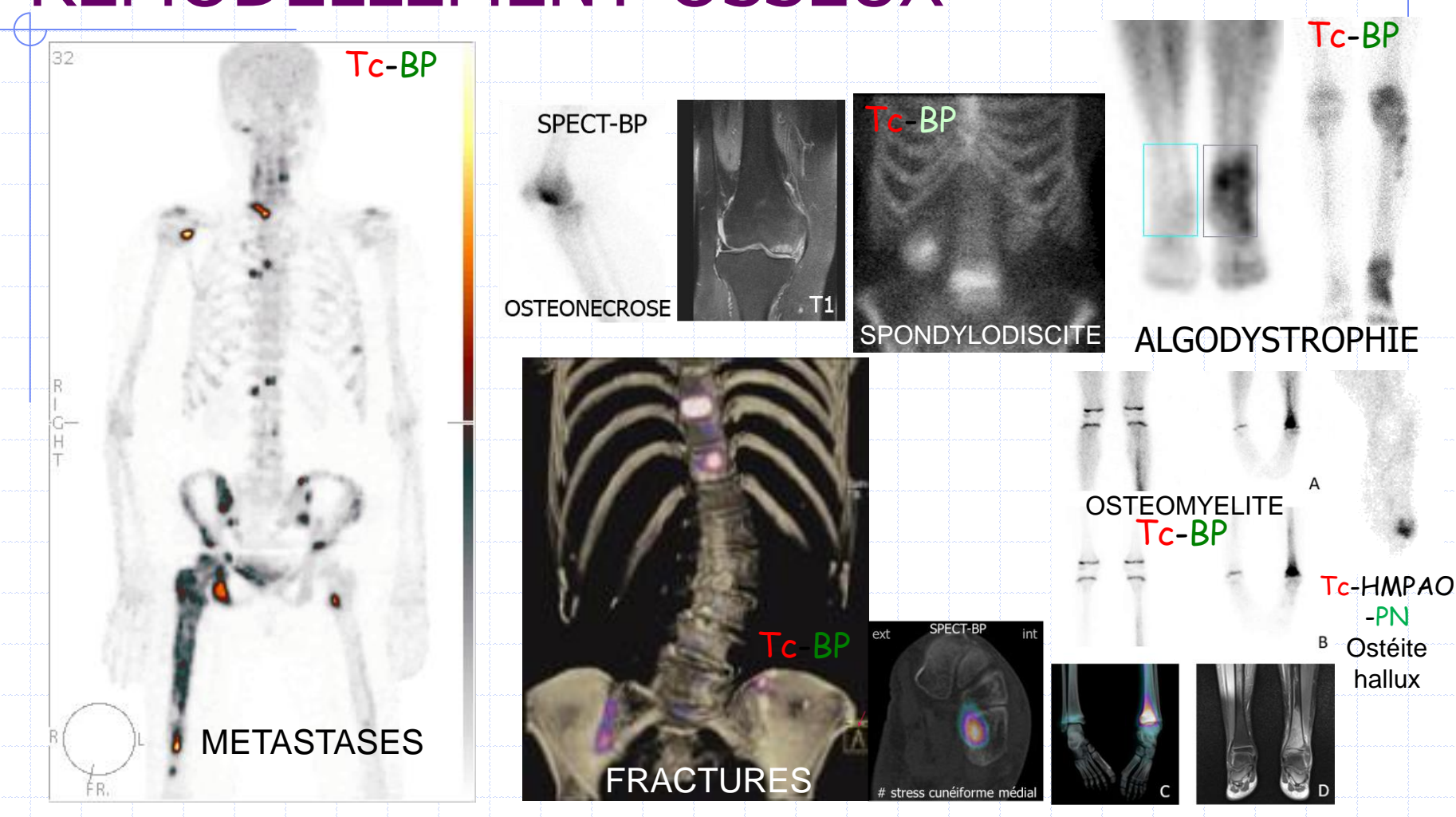
X2 versus 2023

#### DEROULEMENT DE L'EXAMEN

- ACCUEIL, INFORMATION ET PERFUSION DU PATIENT
- ADMINISTRATION DU RADIOTRACEUR
  - · Parfois sensibilisée par une épreuve d'effort, une médication...
- SOUVENT ATTENTE DE LA METABOLISATION DU TRACEUR
  - Sans délai : perfusion myocardique, excrétion tubulaire rénale, scintigraphies pulmonaires, ...
  - 15' (Thyroïde, ventriculographie), 30' (TEP NEURO), 1 h (TEP),
  - 3h (OS, DMSA), 24h (PN, MIBG)...
- ACQUISITION DES IMAGES: 10-45'
- TRAITEMENT DES IMAGES ET INTERPRETATION (30')
- CONSULTATION MEDICALE (PRE ANNONCE)

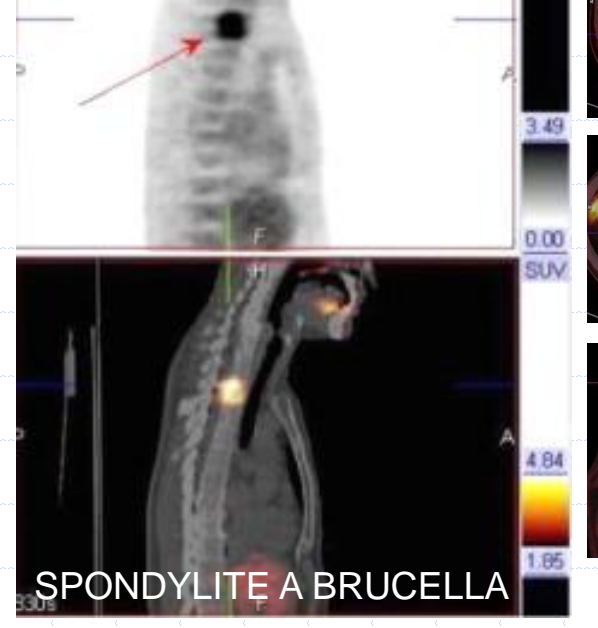
#### IMAGERIE TRACEURS SCINTIGRAPHIE DIAGNOSTIC THERAPIE RIA DOSIMETRIE

## SCINTIGRAPHIE OSSEUSE au <sup>99m</sup>Tc-BP: REMODELLEMENT OSSEUX



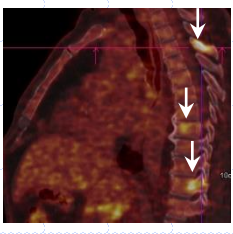
Indications: fracture, algodystrophie, tumeur, infection, nécrose, arthrite...

# TEP au <sup>18</sup>F-DG: INFLAMMATIONS & INFECTIONS





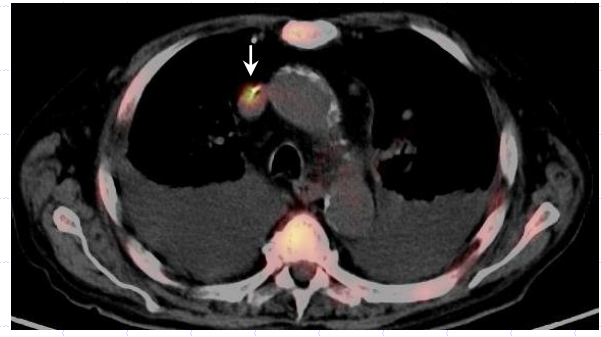






SARCOIDOSE





INFECTION Kt VCS

Mécanisme : Inflammation ⇒ 7 des récepteurs au glucose

vascularite

## Annale 2° session 2020-2021

- 1- Quel vecteur/marqueur en scintigraphie osseuse gamma?
- 2- Signification d'une hyperfixation osseuse en SPECT osseuse ?
- 3- Signification d'une hyperfixation extra osseuse en SPECT osseuse ?
- 4- 2 intérêts du CT en SPECT-CT?
- 5- Déroulement de l'examen ?

BP / <sup>99m</sup>Tc Remodelage osseux

Infection, inflammation

Correction d'atténuation, localisation anatomique

Injection MRP / (images précoces)/ Attente 3h / images tardives

127 candidats ; Moyenne : 13/20 à Montpellier et 11/20 à Nîmes

### Annale 1° session 2022-2023

Un jeune marathonien de 20 ans se plaint d'une douleur du pied focale, persistante, apparue subitement après une course, majorée par la pression et la palpation. Vous avez déjà prescrit une radiographie du pied qui ne met pas en évidence de fracture, et un bilan biologique qui ne montre pas d'inflammation. Vous souhaitez compléter le bilan d'imagerie par un examen aussi sensible que possible à la recherche de petites fractures ou fissures non détectées sur l'imagerie radiologique standard.

- 1- Quel appareil d'imagerie?
- 2- Quelle résolution au contact / en mode tomographique ?
- 3- Quel vecteur / marqueur ?
- 4- Délai administration du traceur imagerie?
- 5- Quelle fonction détermine le contraste?
- 6- Taille minimale d'une lésion détectée à 100% en SPECT?
- 7- Pourquoi 100% de sensibilité / fissure millimétrique ?

SPECT-CT

5 / 15 mm

Biphosphonates / 99mTc

3 heures

Remodelage osseux / ostéoblastes

2.R = 3 cm

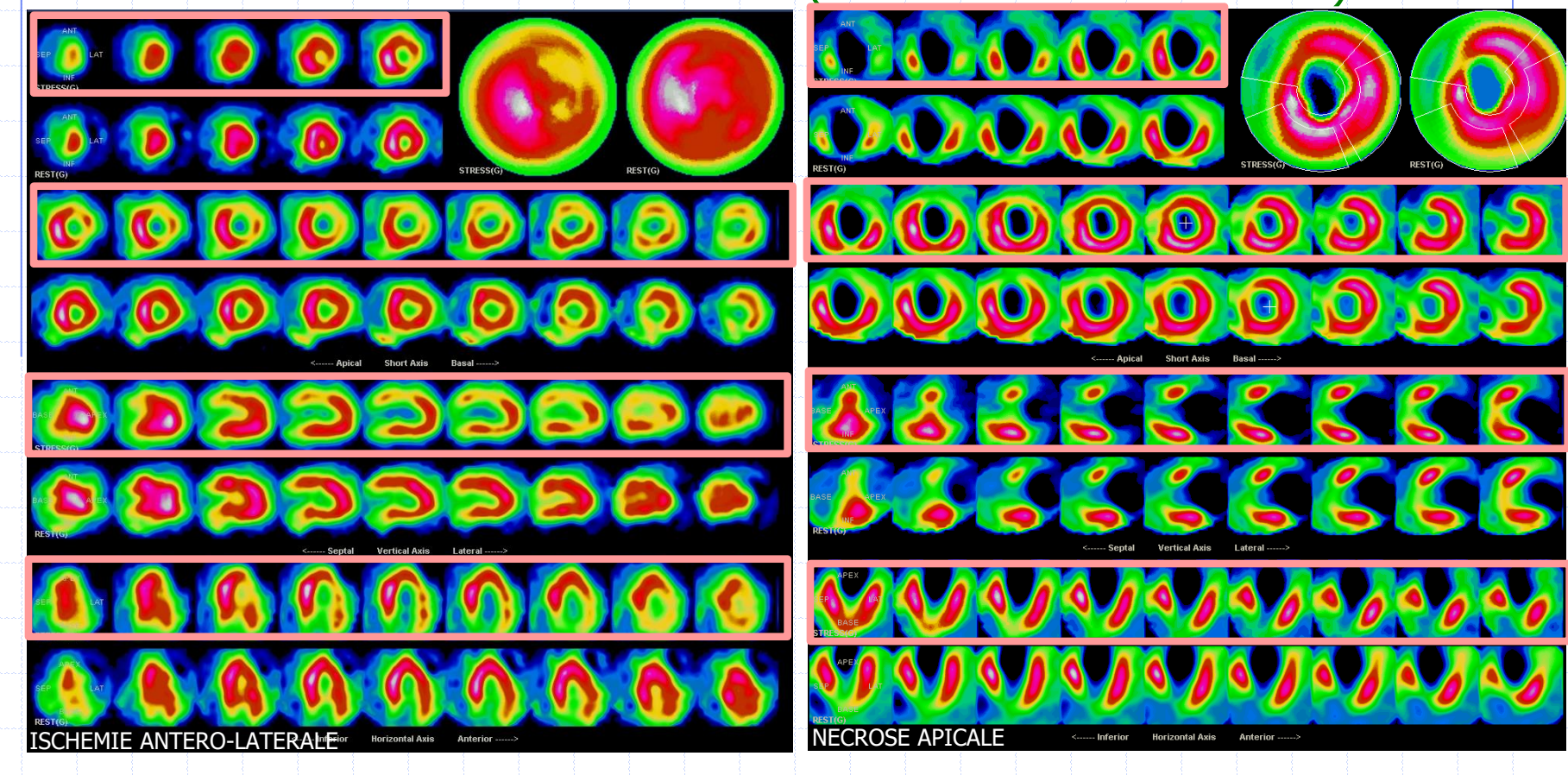
Activation ostéoblastes intense sur une zone plus étendue

367 candidats; Moyenne: 12/20 à Montpellier et à Nîmes

IMAGERIE TRACEURS SCINTIGRAPHIE DIAGNOS TIC THERAPIE RIA DOSIME

# SCINTIGRAPHIE MYOCARDIQUE au 99mTc-CL: PERFUSION MYOCARDIQUE

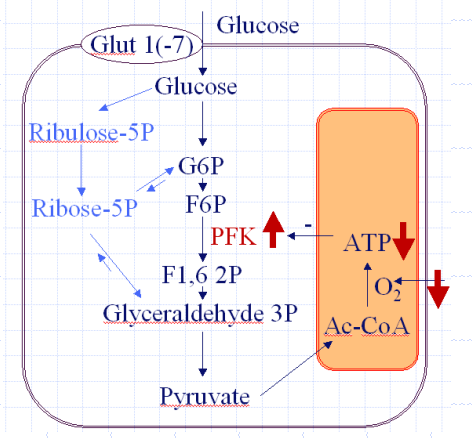
Traceurs: 99mTc -CATION LIPOPHILE (MIBI ou TETROFOSMINE)

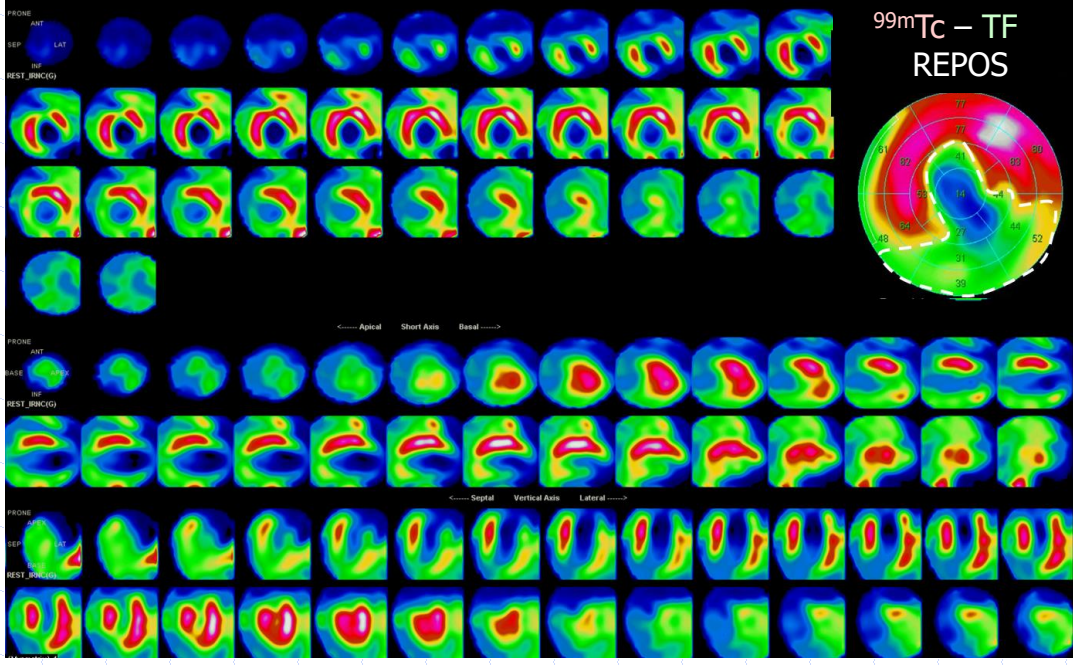


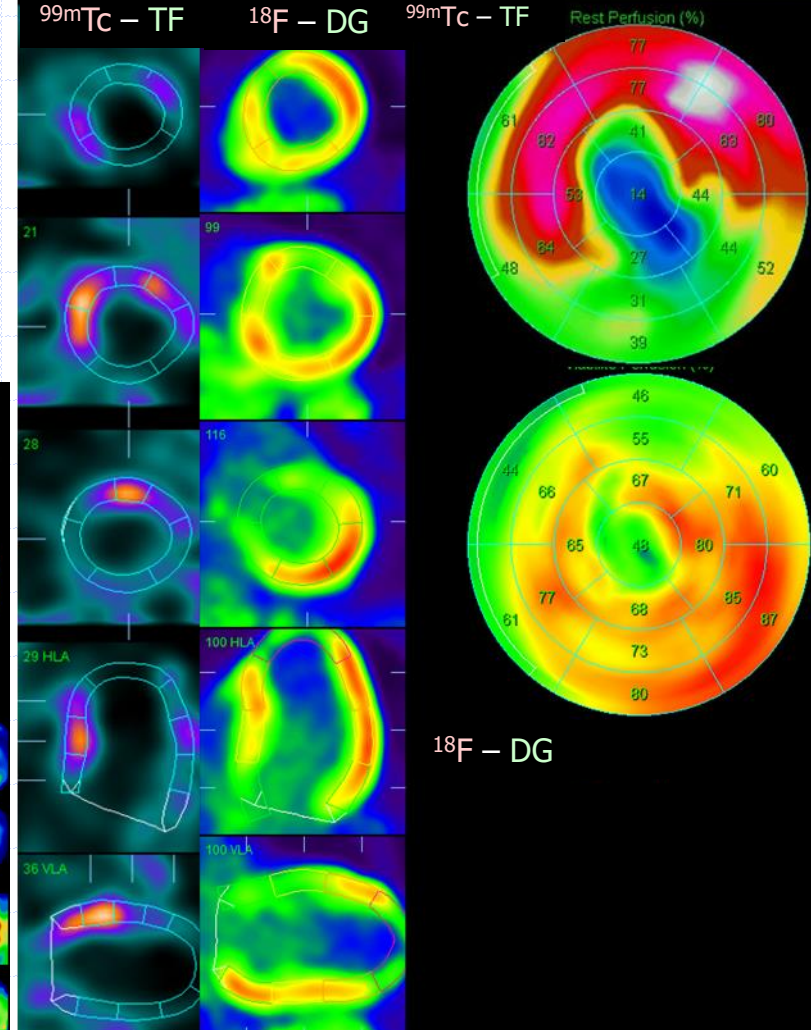
A jeun de CAFE, THE, CHOCOLAT, RICORE, COLA, BANANE depuis 24h

Indications: coronaropathies (dépistage DNID, HIV, diagnostic, suivi, pré-op...)

## TEP au <sup>18</sup>F-DG: VIABILITE MYOCARDIQUE

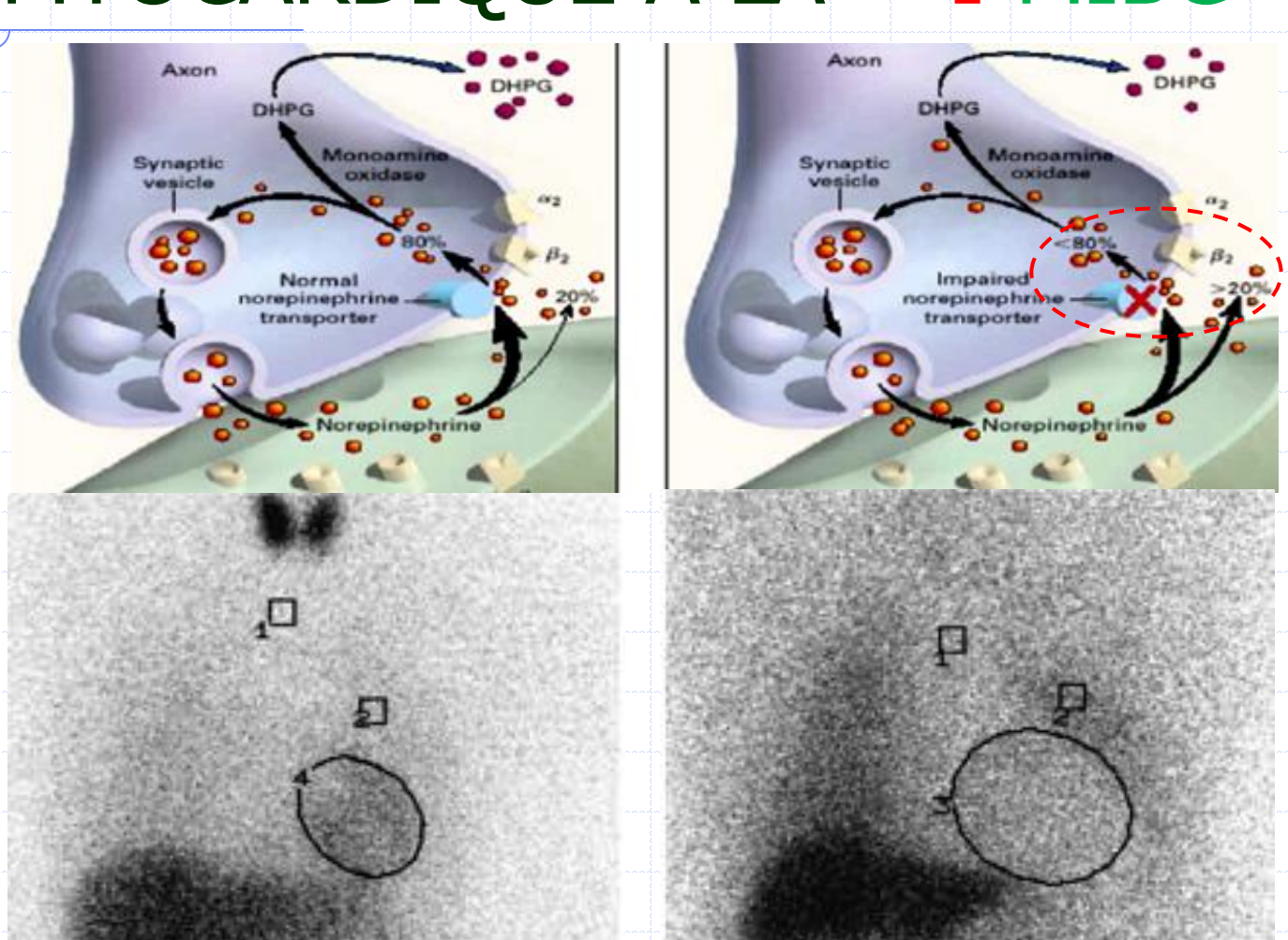






IMAGERIE TRACEURS SCINTIGRAPHIE DIAGNOSTIC THERAPIE RIA DOSIMETRIE

## SCINTIGRAPHIE D'INNERVATION MYOCARDIQUE A LA <sup>123</sup>I-MIBG

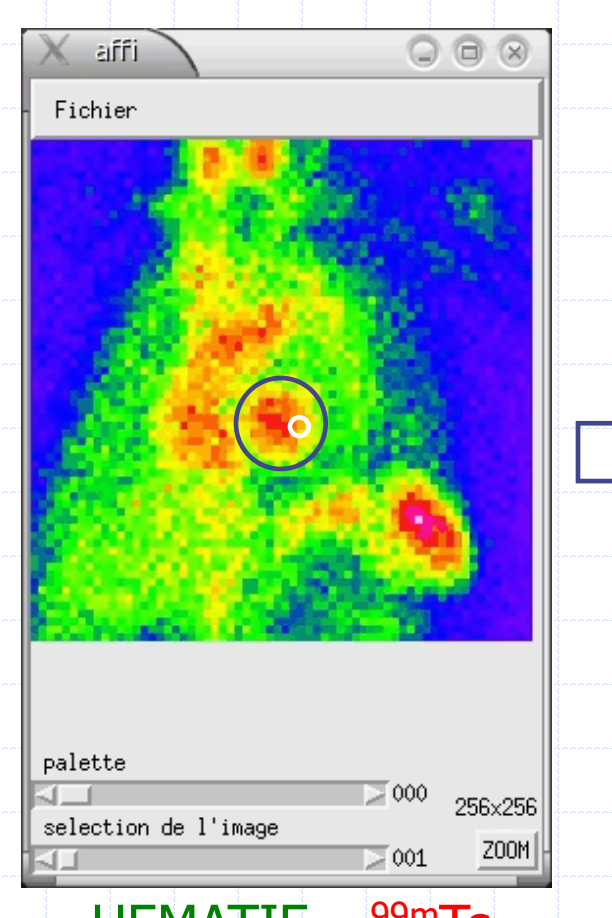


Indications: insuffisance cardiaque

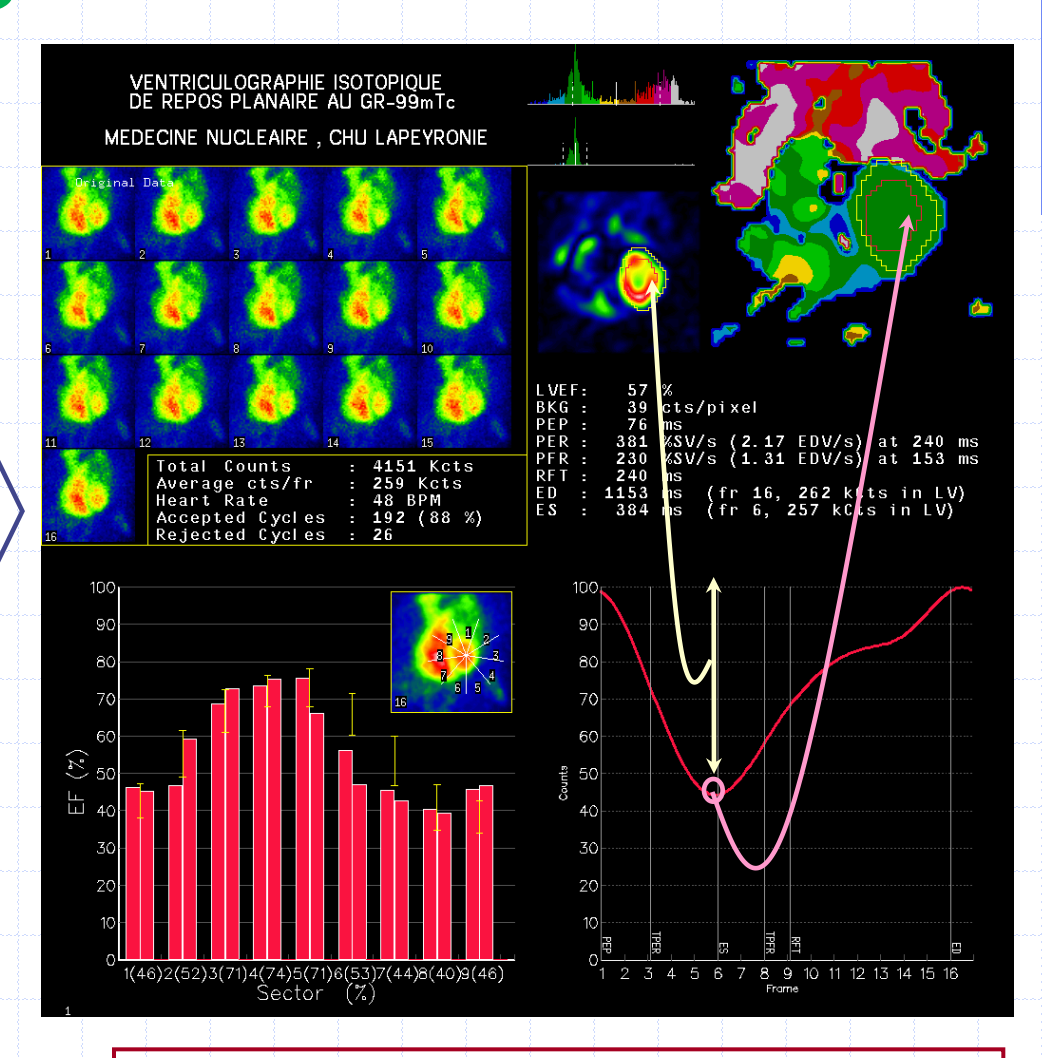
MIBG - <sup>123</sup>I Traceur des neurones adrénergiques viables

### VENTRICULOGRAPHIE ISOTOPIQUE AU

#### 99mTc-HEMATIES

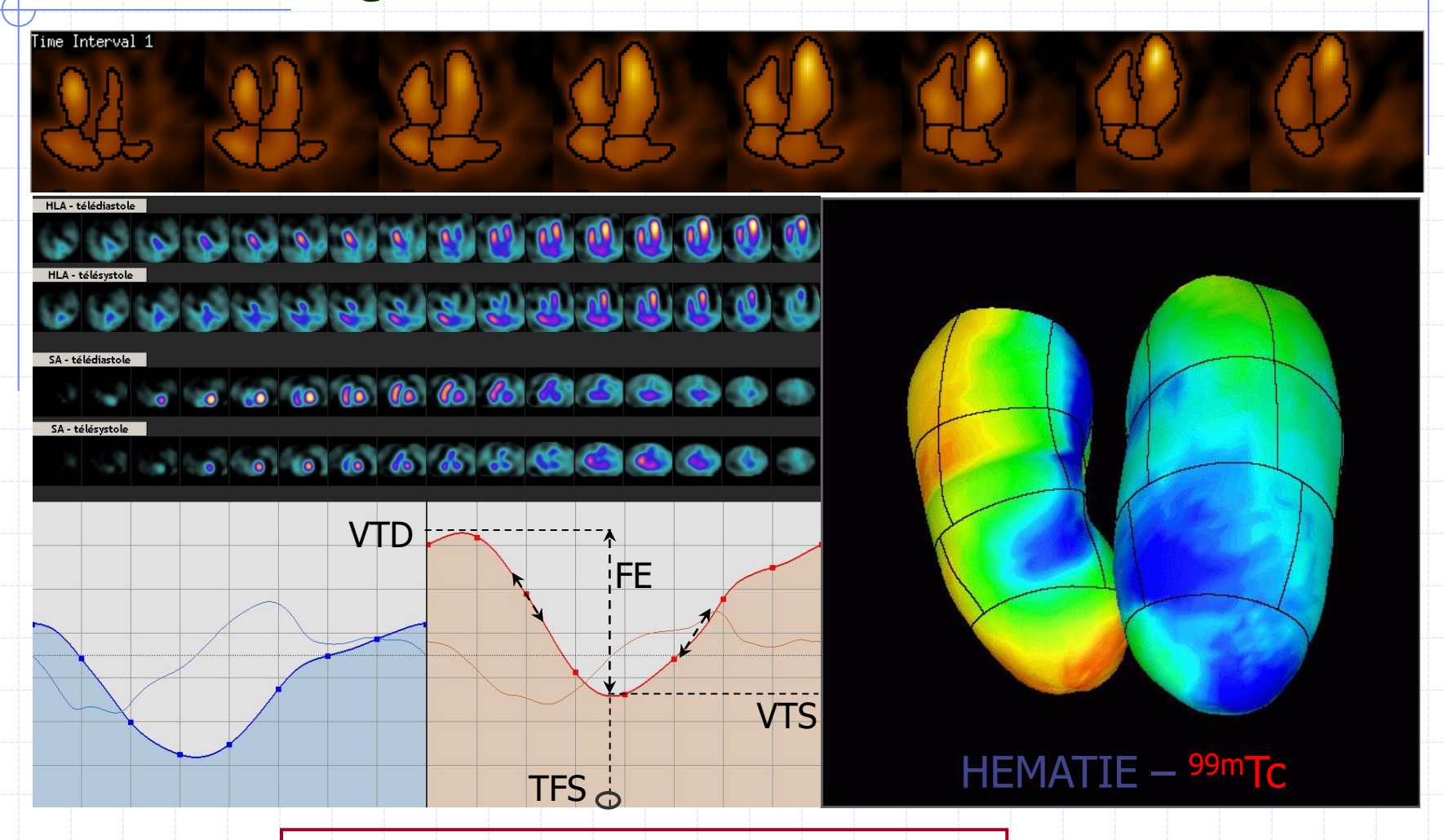


HEMATIE – <sup>99m</sup>Tc Traceur du volume sanguin



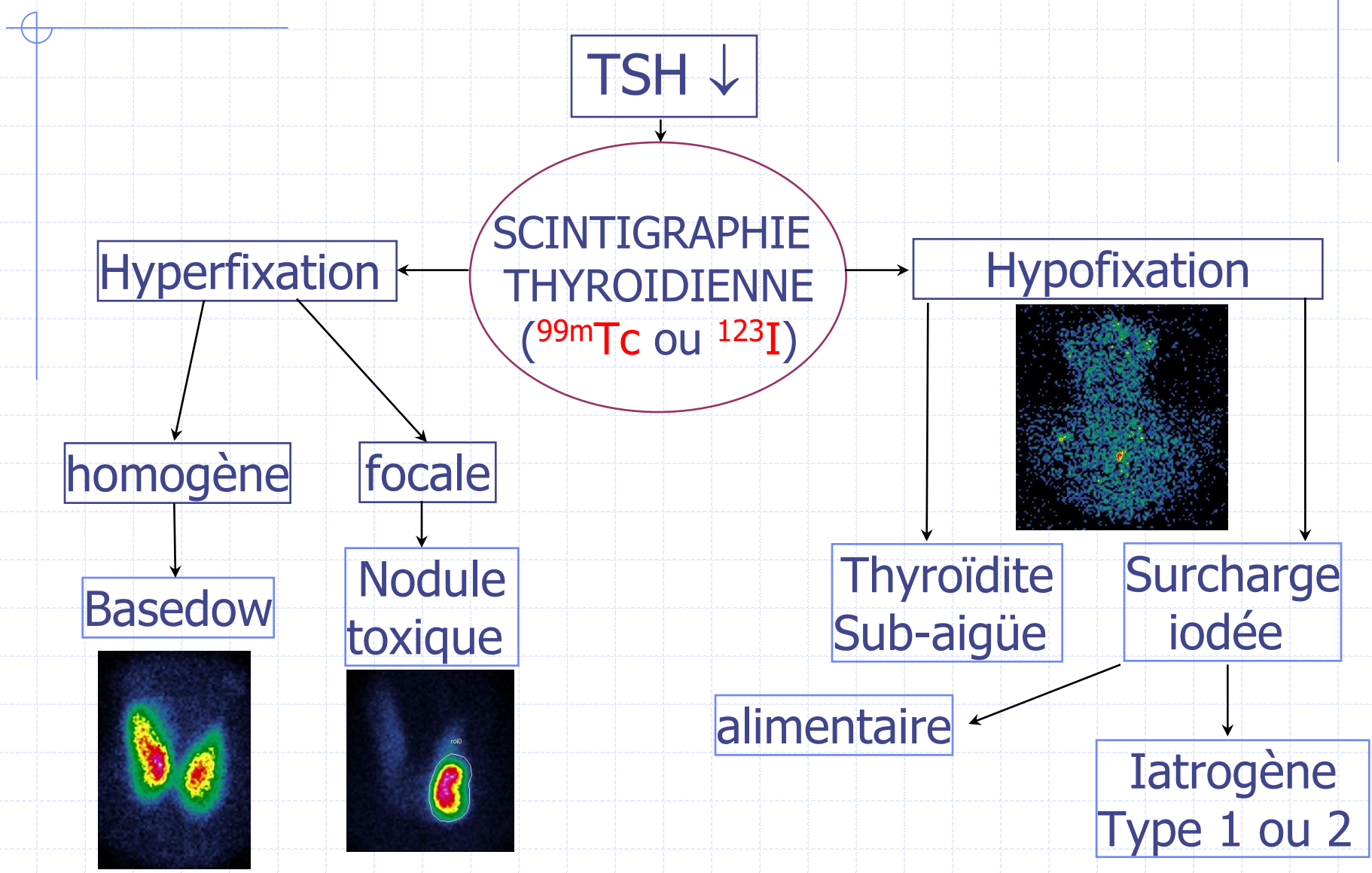
Indications: insuffisance cardiaque

# TOMOVENTRICULOGRAPHIE ISOTOPIQUE AU 99mTc-HEMATIES



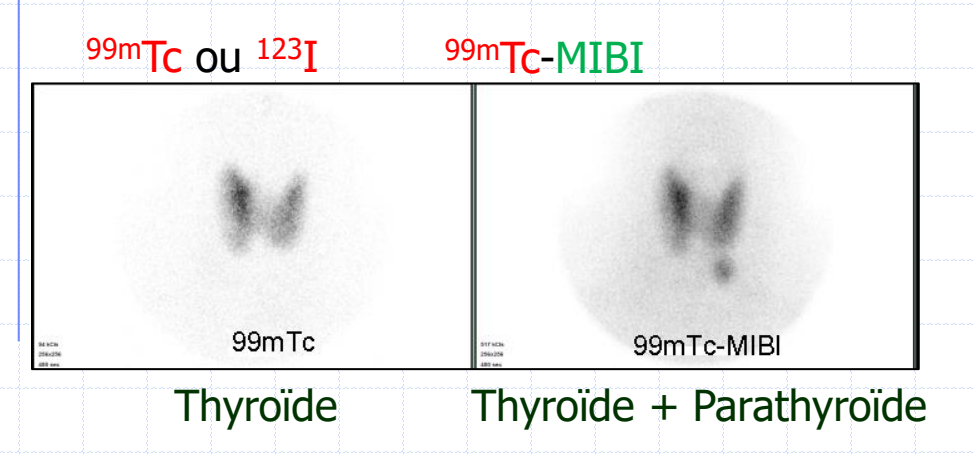
Indications: insuffisance cardiaque

## SCINTIGRAPHIE THYROIDIENNE AU 99mTc: ETIOLOGIE D'UNE HYPETHYROIDIE

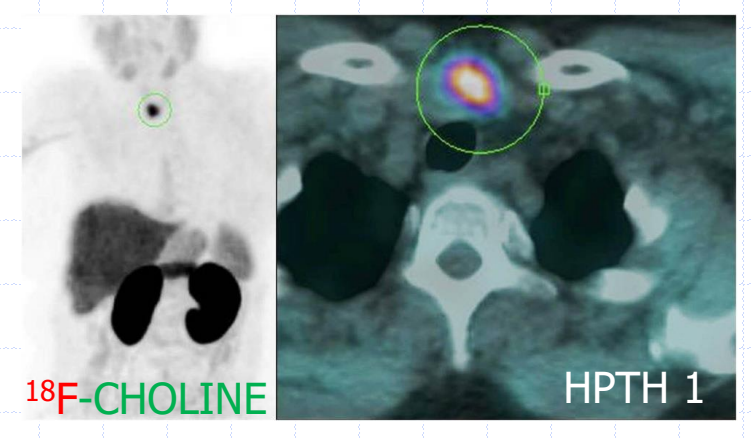


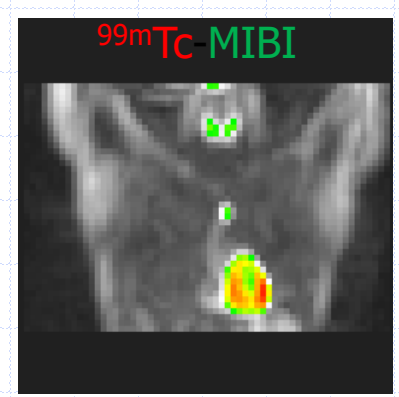
# SCINTIGRAPHIE PARATHYROIDIENNE: ETIOLOGIE D'UNE HYPEPARATHYROIDIE

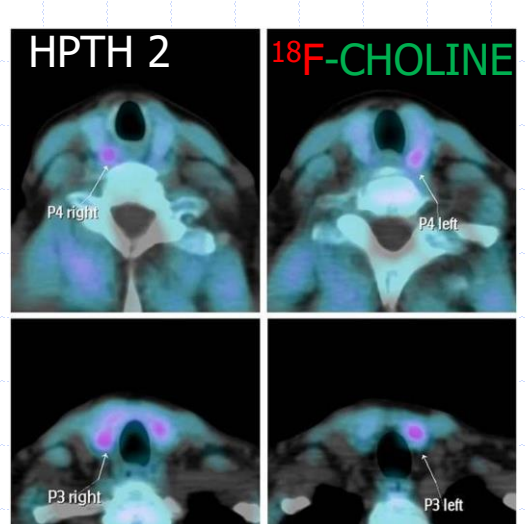
• SPECT au (99mTc ou 123I) versus 99mTc-MIBI



• PET à la <sup>18</sup>F-CHOLINE





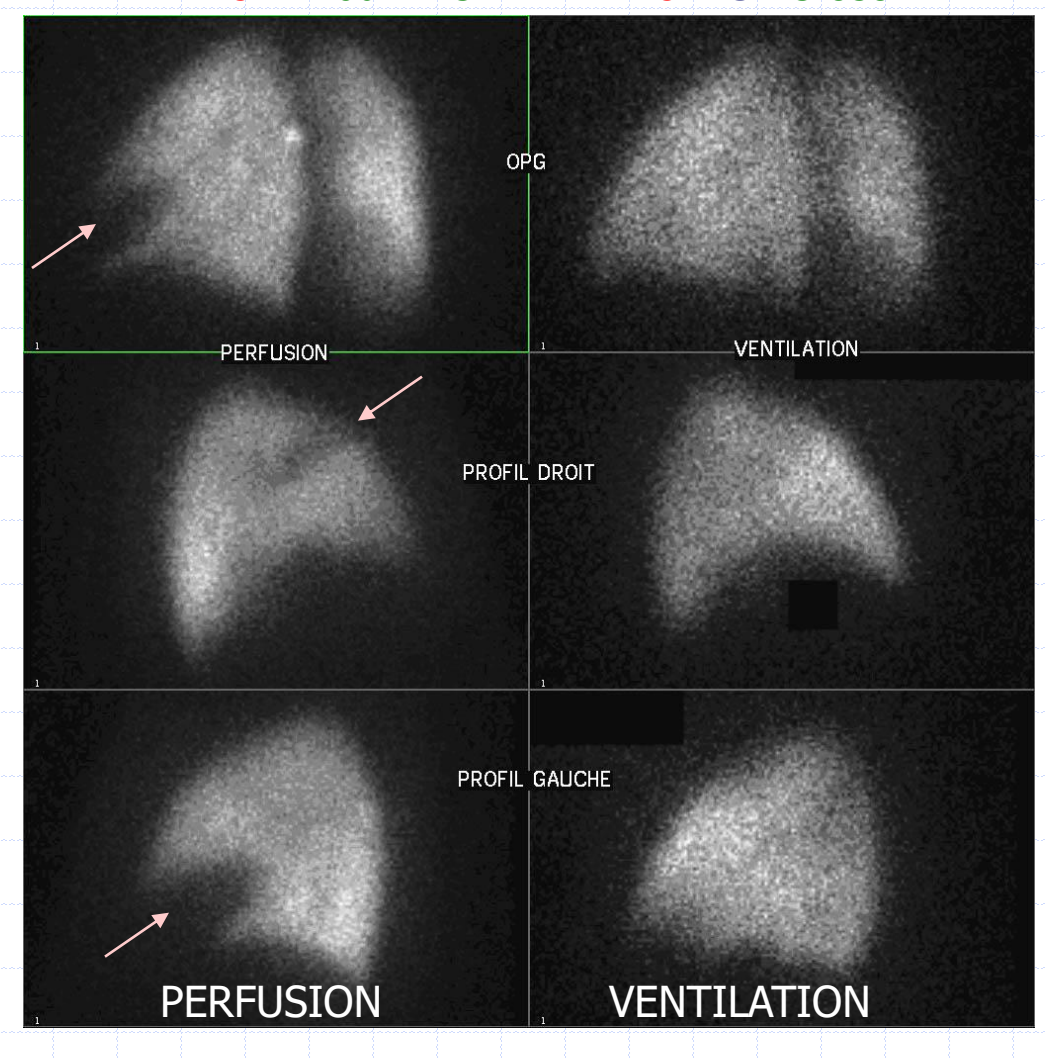


ERIE TRACEURS SCINTIGRAPHIE DIAGNOSTIC THERAPIE RIA DOSIMETRIE

# SCINTIGRAPHIE PULMONAIRE: EMBOLIE PULMONAIRE, HTAP

<sup>99m</sup>Tc – Albumine

99mTc – C-Aérosol



EMBOLIE PULMONAIRE (Lingula et segment antérieur du LSD)

## Annale 1° session 2024-2025

Vous posez une indication de scintigraphie pulmonaire à la recherche d'une embolie pulmonaire chez une femme enceinte depuis 7 mois. Le médecin nucléaire que vous contactez vous précise que cet examen conduira à une dose efficace de 2 mSv corps entier à la patiente et à une dose absorbée corps-entier de 0,5 mGy pour le fœtus.

- 1- Comment le MN évalue-t-il ces doses ?
- 2- De quels paramètres dépend cette évaluation ?
- 3- Danger de malformation fœtale ou de fausse couche?
- 4- Danger pour la patiente ?
- 5- Marqueur et vecteur en scintigraphie pulmonaire de perfusion, anomalie recherchée ?

  99mTc/Macro agrégats d'albumine ; obstruction d'une branche de l'artère pulmonaire
- 6- Marqueur et vecteur en scintigraphie pulmonaire de ventilation, anomalie recherchée ?

  99mTc/aérosol; hypoventilation dans une bronche (qui n'oriente pas vers une EP)

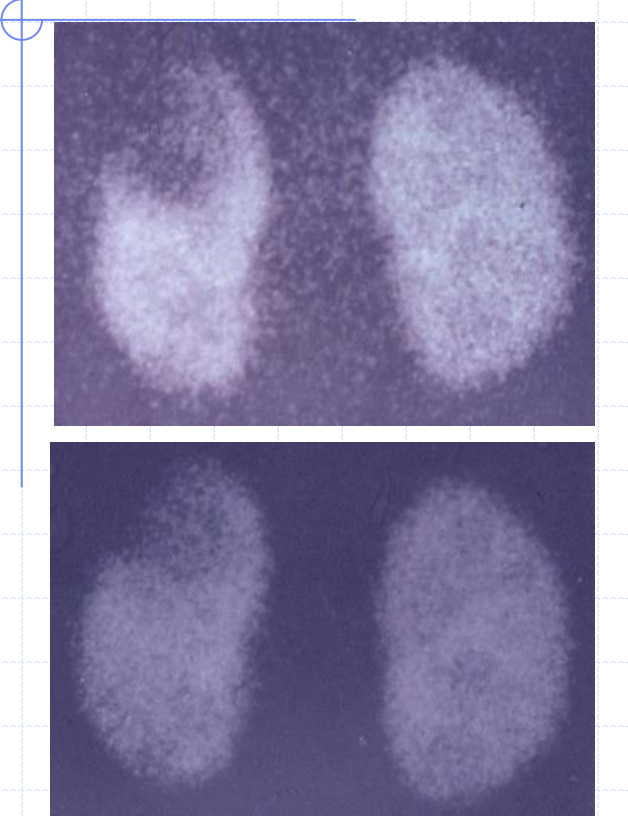
### Annale 2° session 2024-2025

Vous posez une indication de scintigraphie pulmonaire à la recherche d'une embolie pulmonaire chez une femme enceinte depuis 7 mois. Le médecin nucléaire que vous contactez vous précise que cet examen conduira à une dose efficace de 2 mSv corps entier à la patiente et à une dose absorbée corps-entier de 0,5 mGy pour le fœtus et que la résolution des images (FWHM) est de 10 mm dans un champ de vue de 50 cm x 50 cm.

- 1- Dose efficace CE au fœtus, qu'est-ce-que cela mesure ?
- 2- Mode d'acquisition scintigraphique ? Planaire (ou en projection)
- 3- Nombre de pixels par côté pour les scintigraphies ? d = FWHM/2 = 5 mm; 500/5 = 100 pixels
- 4- Déterminant du contraste en échographie des membres inférieurs ? Variation (interface) de densité
- 5- Que recherche-t-on sur une échographie doppler des membres inférieurs ? Obstruction veineuse (phlébite)

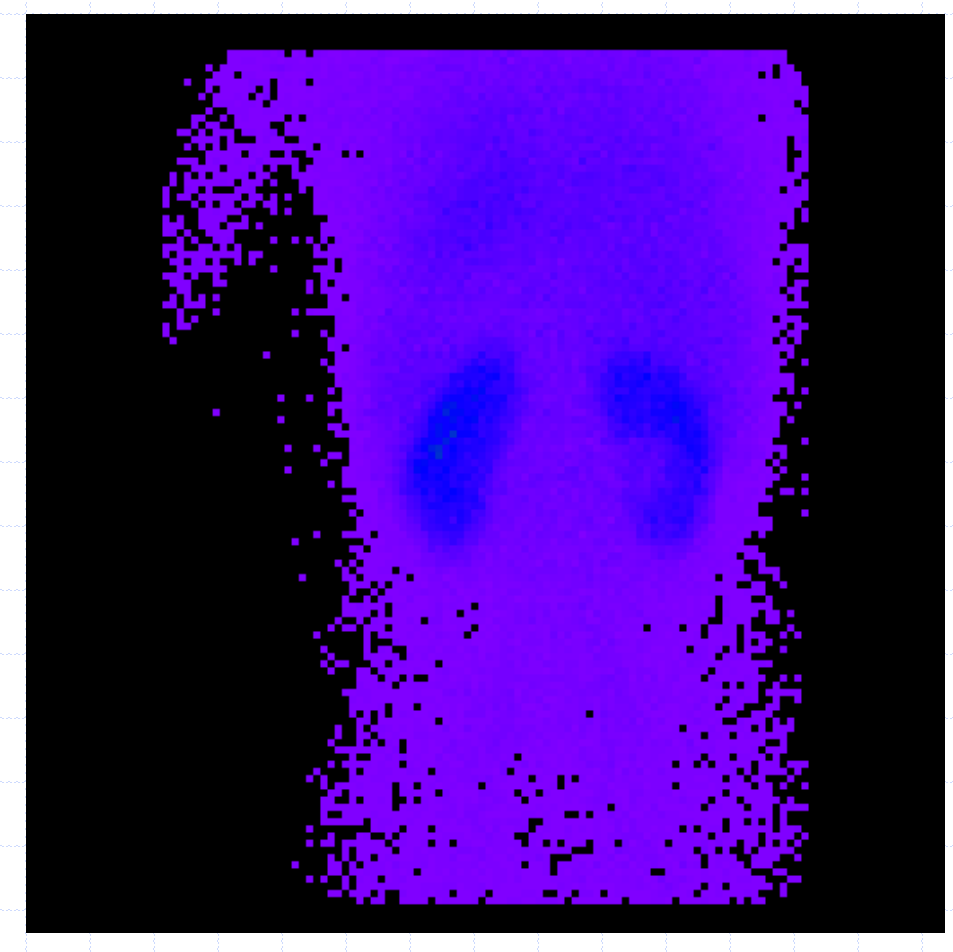
MAGERIE TRACEURS SCINTIGRAPHIE DIAGNOSTIC THERAPIE RIA DOSIME RIE

## SCINTIGRAPHIE RENALE: PYELONEPHRITE, OBSTACLE, HTA



99mTc-DMSA

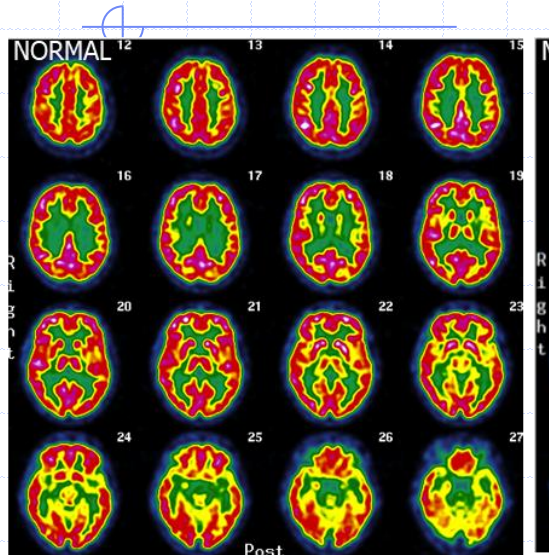
Perfusion corticale: Pyélonéphrite

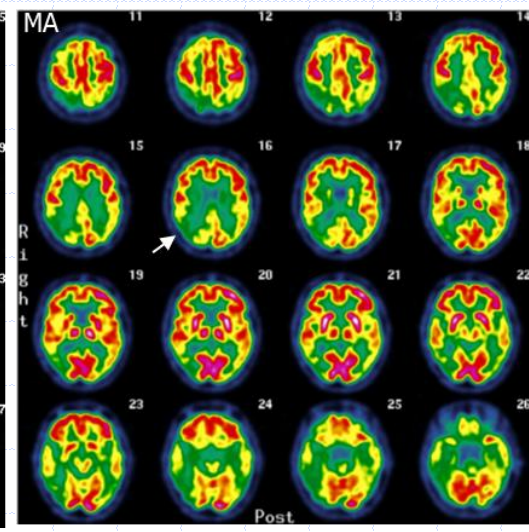


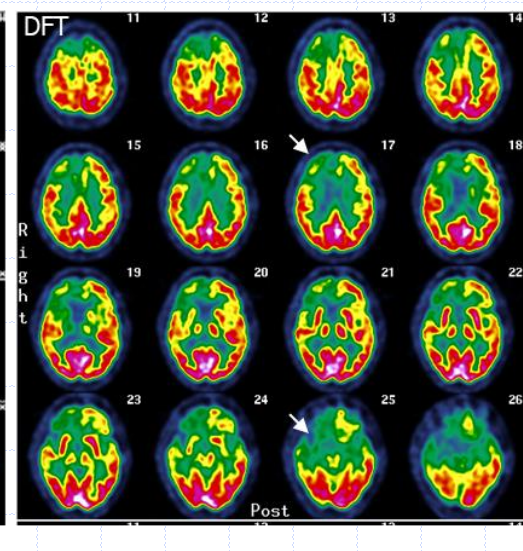
<sup>99m</sup>Tc-MAG 3

Sécrétion tubulaire : obstacles à l'excrétion urinaire, HTA réno-vasculaire...

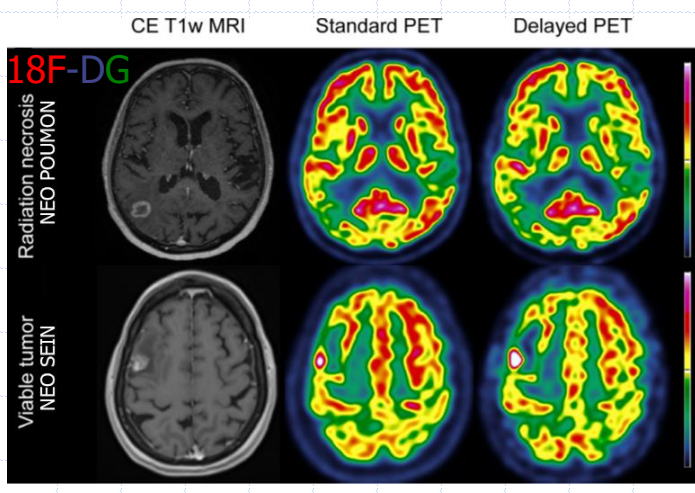
### TEP et TEMP CEREBRALES

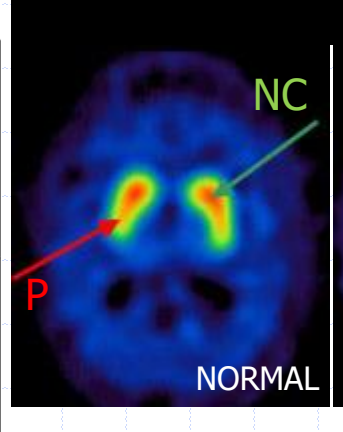


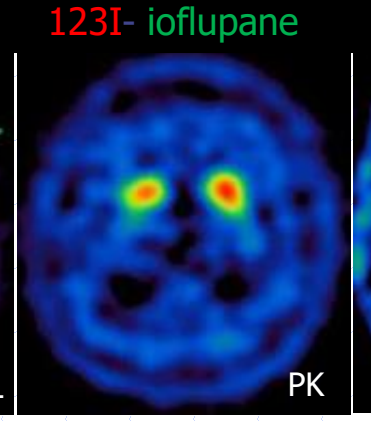


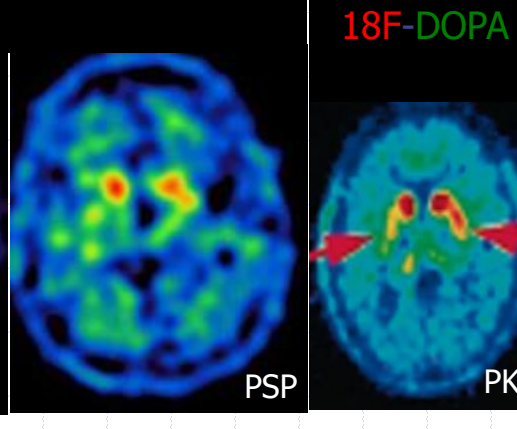


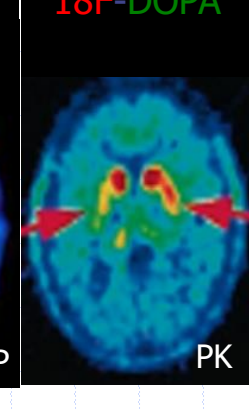
Démences neuro-Dégénératives **18F-DG** 







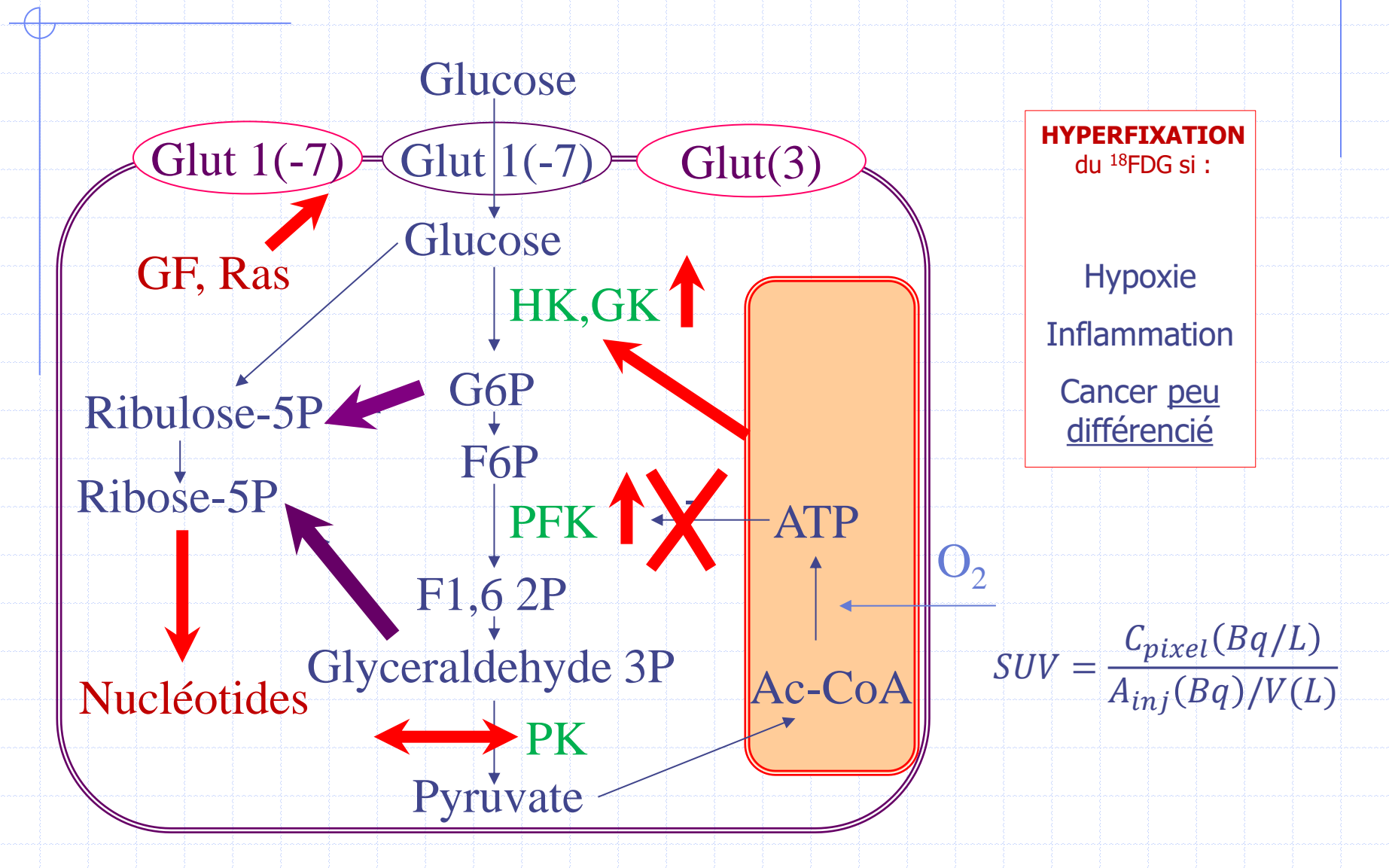




**Parkinson** 

Séquelle de RT vs récidive

## TEP au <sup>18</sup>F-DG: Dic, BE,SUIVI DES CANCERS PEU DIFFERENCIES

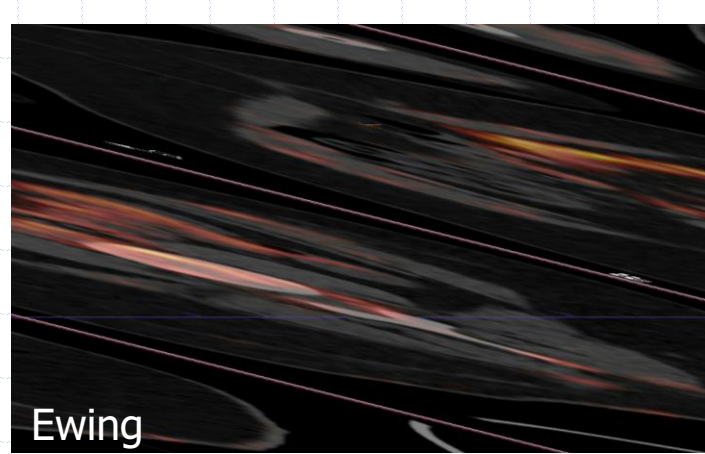


#### IMAGERIE TRACEURS SCINTIGRAPHIE DIAGNOSTIC THERAPIE RIA DOSIME RI

## TEP au <sup>18</sup>F-DG: ONCO-HEMATOLOGIE

- Lymphomes (H,F,BDGC,M,T)
  - · Hodgkin, folliculaire, B, T, manteau

Myélomes

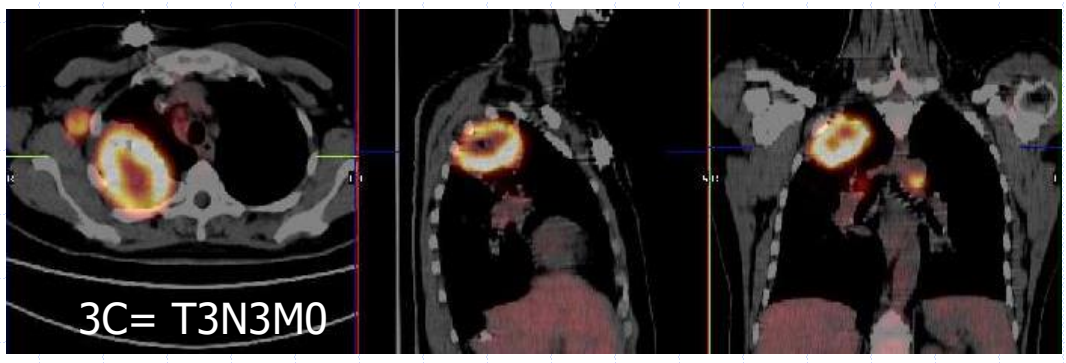


- Sarcomes
  - Osseux (Ewing, ostéosarcome, chordome)
  - Tissus mous (Rhabdomyosarcome, endomètre)

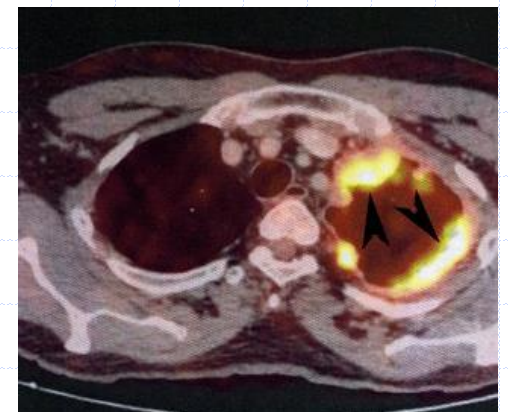


## TEP au <sup>18</sup>F-DG: ONCO-PNEUMOLOGIE ET THYMUS

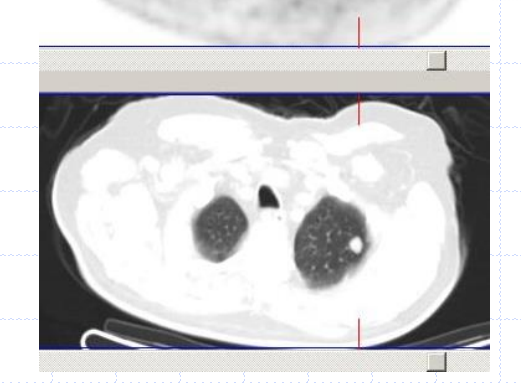
Carcinomes bronchiques (NPC, PC, GC)

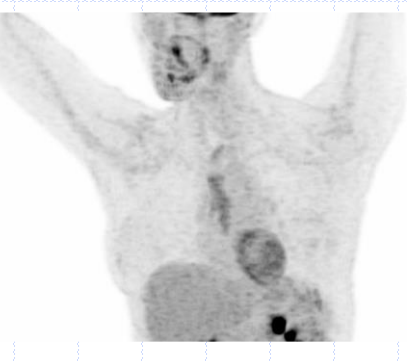


Mésothéliome



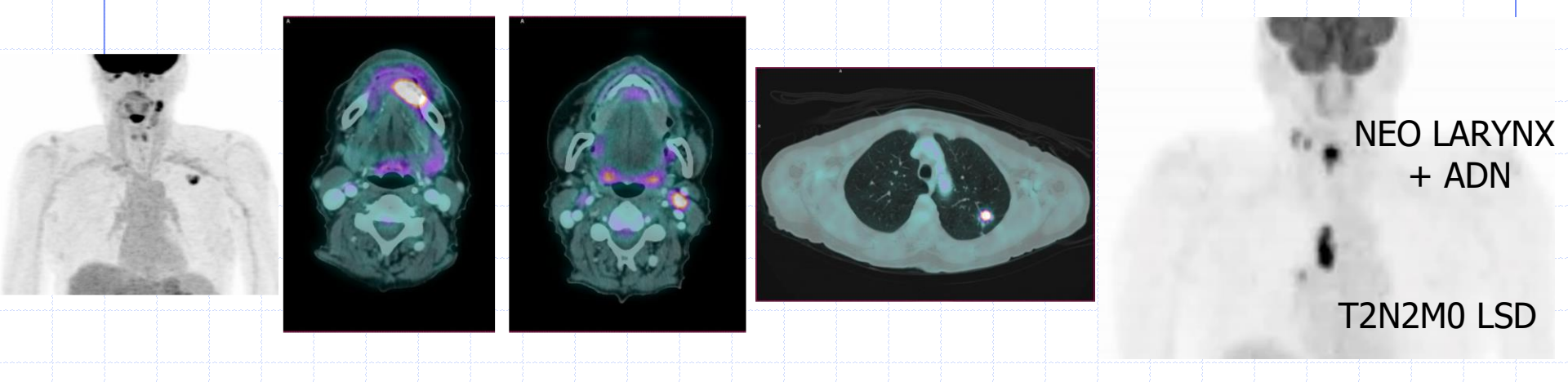
Tumeurs thymiques



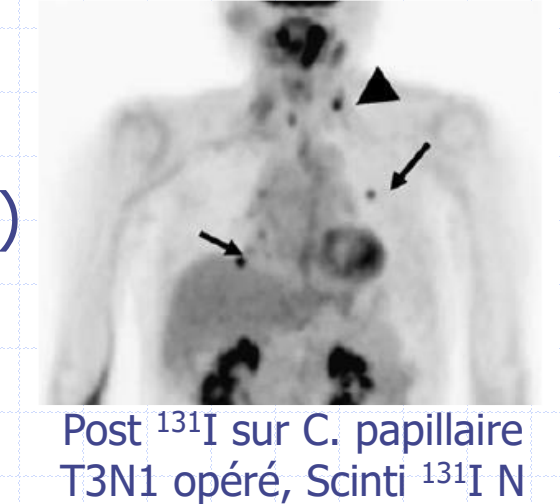


## TEP au <sup>18</sup>F-DG: ONCO-ORL

VADS (cancers synchrones) et GG sans I

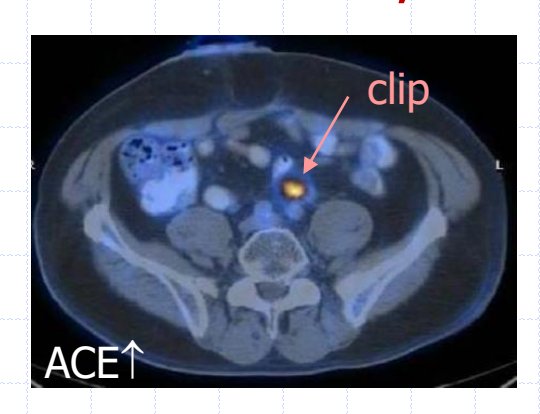


- Thyroïde
  - Si anaplasique, peu ≠, étendus (Tg↑)

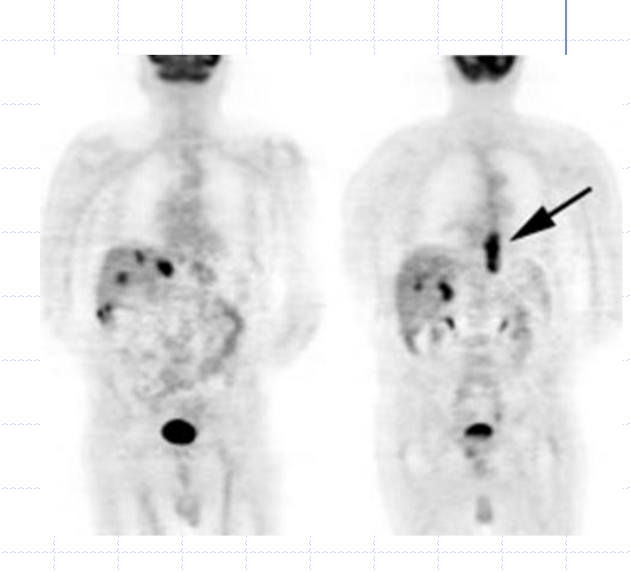


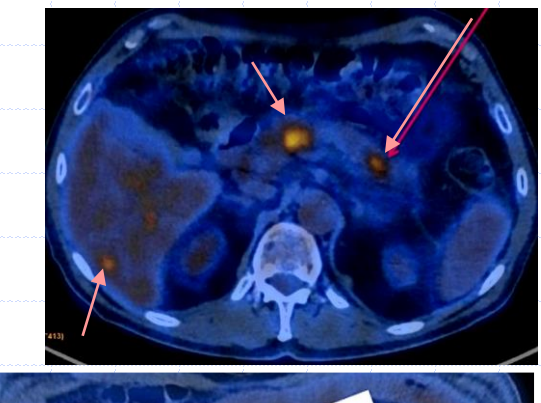
## TEP au <sup>18</sup>F-DG: ONCO-DIGESTIF

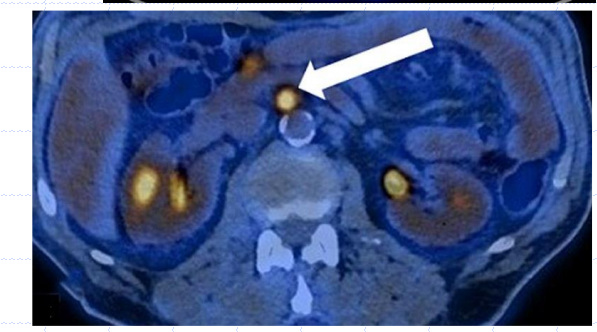
- Œsophage et estomac
- ADK Pancréas
- Hépato & cholangio-K,VB
  - TEP à la <sup>18</sup>F Choline
- Colo-rectal, anal





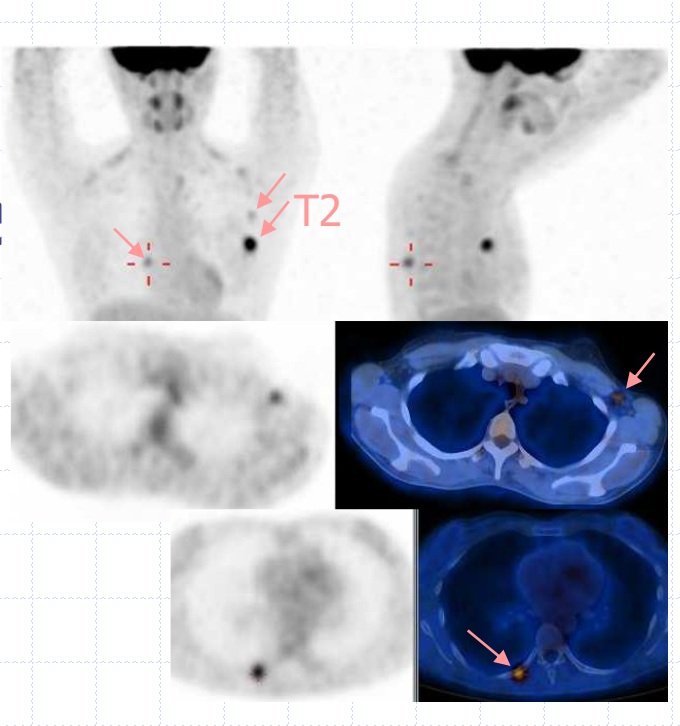






## TEP au <sup>18</sup>F-DG: ONCO-GYNECOLOGIE & DERMATOLOGIE

- Sein
- Col, endomètre
- Vulve
- Ovaire

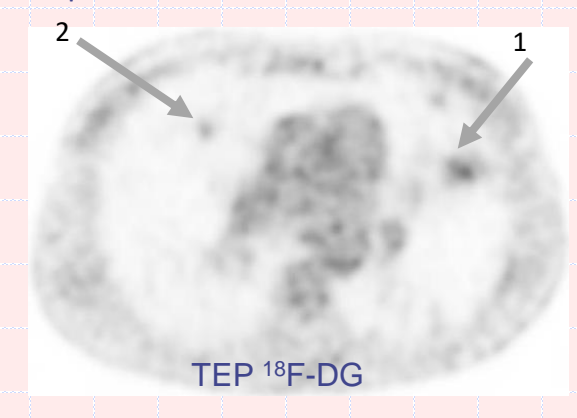


- Mélanomes
- Tumeurs de Merckel

## Annale 1° session 2020-2021

PET-CT au 18FDG pour évaluation d'opacités parenchymateuses pulmonaires :





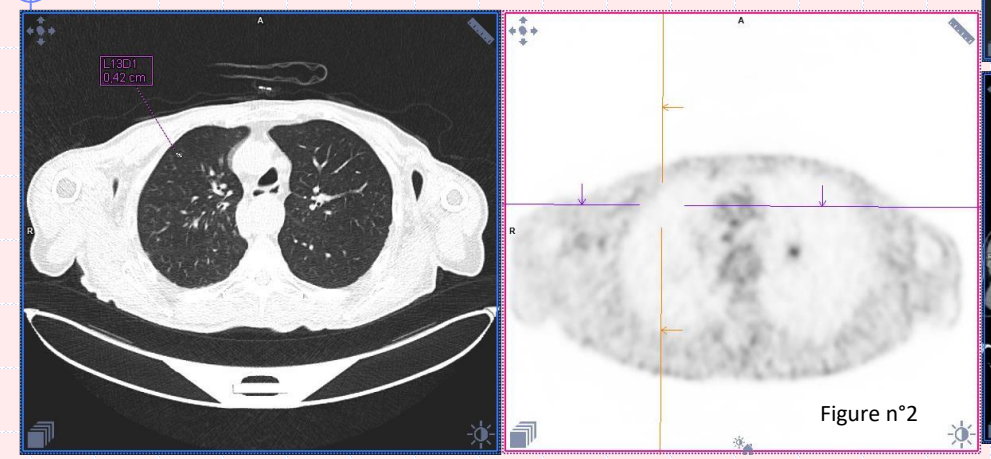
- 1- Déterminants du contraste en CT?
- 2-3 causes d'hyperfixation du FDG?
- 3- Quelles acquisitions pour reconstruire en tomo?
- 4- Quelle est l'opération mathématique réalisée par des rétroprojections dans les algo de tomographie ?
- 5- Opacité n° 1 ⇒ 2 hypothèses ?
- 6- Hyper  $n^2$  < hyper  $n^1 \Rightarrow ?$

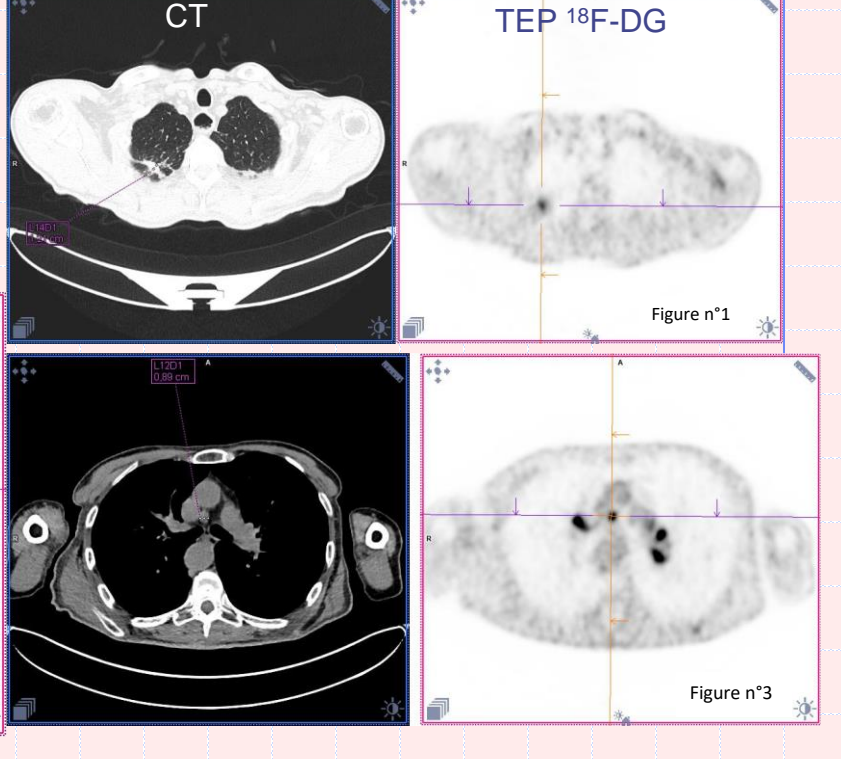
CT: Densité ou mase volumique Néoplasie peu différenciée, inflammation (infection), hypoxie Images planaires de projection sous divers angles

4- Quelle est l'opération mathématique réalisée par des Résolution (inversion) d'un grand système d'équations linéaires

Cancer peu différencié / inflammation ou infection Rien car taille < 2.LMH

# Annale 1° session 2021-2022





- 1- Déterminants du contraste?
- 2- Résolutions ?
- 3- Quelles acquisitions pour reconstruire en tomo?
- 4-3 causes d'hyperfixation du FDG?
- 5- Fig 2 : nodule ciblé de 4,2 mm  $\Rightarrow$  ?
- 6- Fig 3: nodule ciblé pathologique?

CT: Densité ou mase volumique / TEP : métabolisme du glucose

CT: 1 mm / TEP: 5 mm

Images planaires de projection sous divers angles

Néoplasie peu différenciée, inflammation (infection), hypoxie

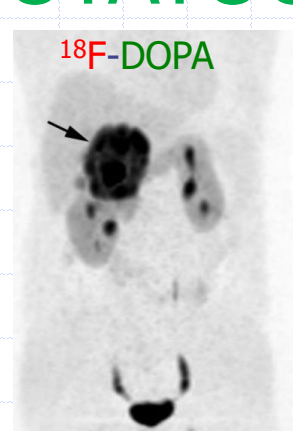
Rien car dimension < FWHM

Oui : Ganglion médiastinal en lien avec le nodule vu sur Fig 1

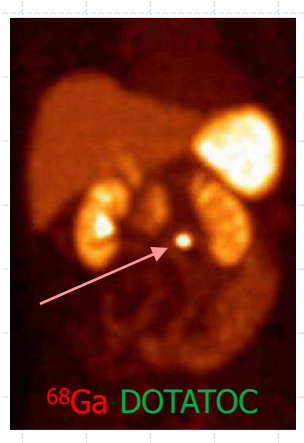
## CANCERS TRES DIFFERENCIES:

TEP au <sup>18</sup>F-DOPA, <sup>68</sup>Ga-PSMA, <sup>68</sup>Ga-DOTATOC

- DOPA → cellules adrénergiques :
  - <u>phéochromocytome</u>, carcinome médullaire de la thyroïde, neuroblastome, hyperinsulinisme.

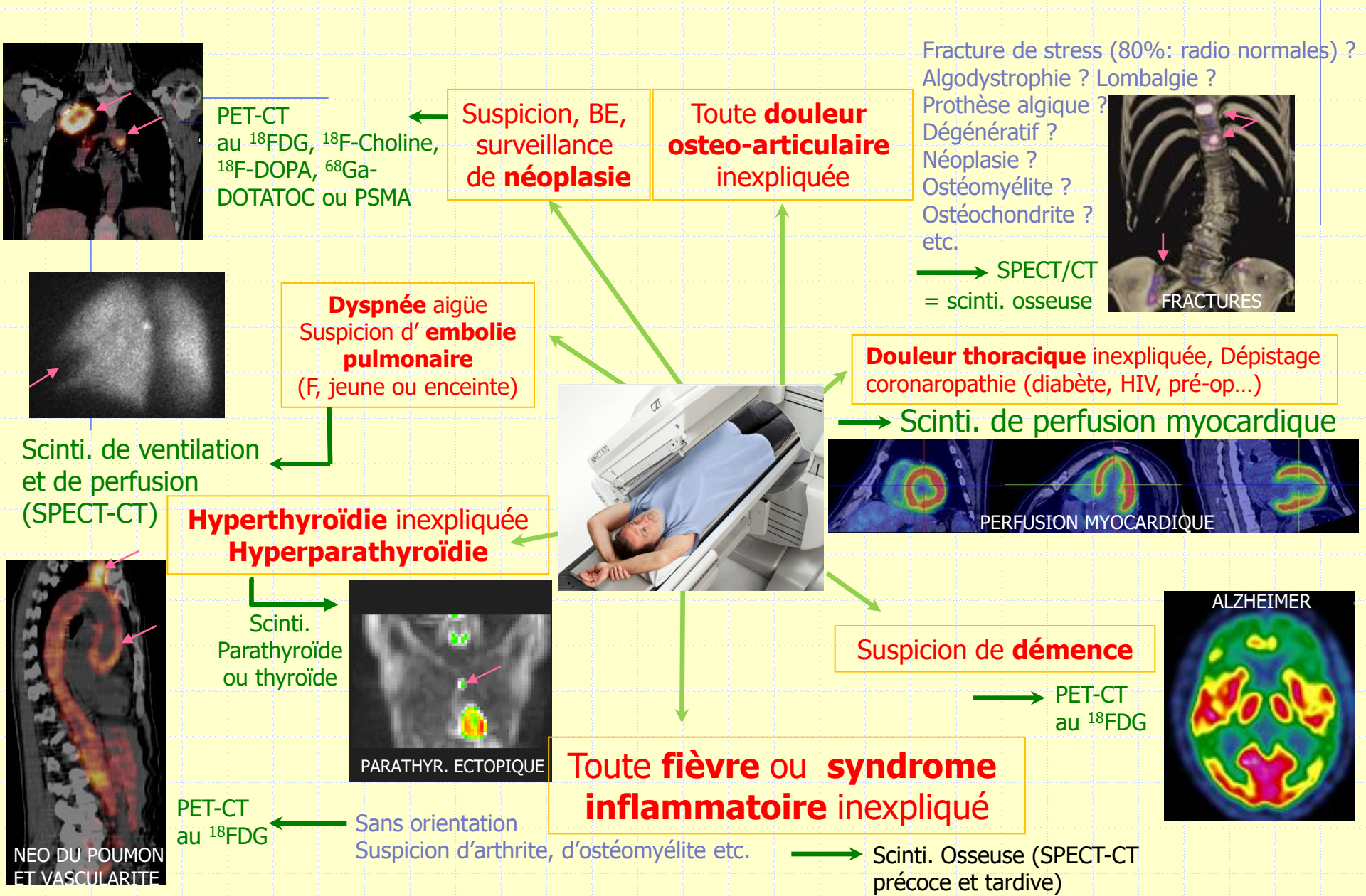


- OCTREOTIDE → Récepteurs à la somatostatine
  - tumeurs neuroendocrines
    - thymique, bronchique, digestive,
  - · Paragangliomes non surrénaliens,
  - Méningiomes.
- PSMA → ADK de prostate
  - PSA ¬,, BEI si haut risque, avant RIV.



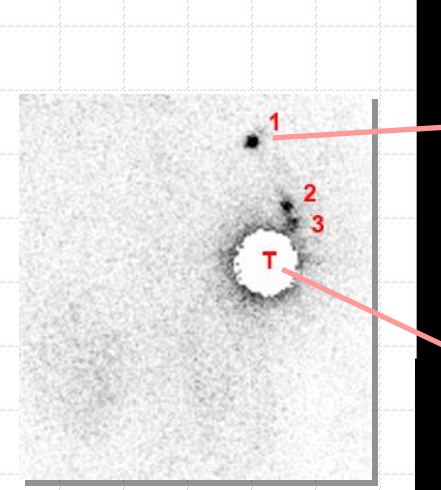


### SYNTHESE 3

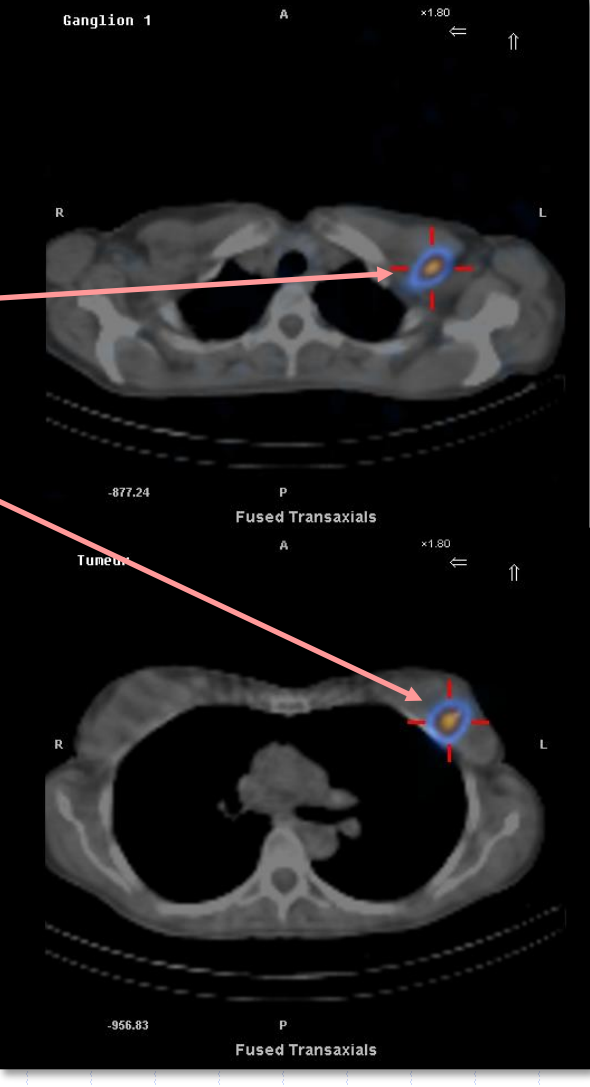


IMAGERIE TRACEURS SCINTIGRAPHIE DIAGNOSTIC THERAPIE RIA DOSIMETRI

# DETECTION PEROPERATOIRE DES GANGLIONS SENTINELLES



99mTc-nanocolloïde

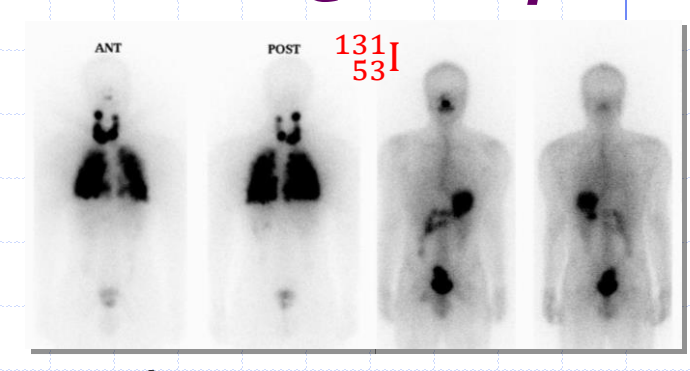






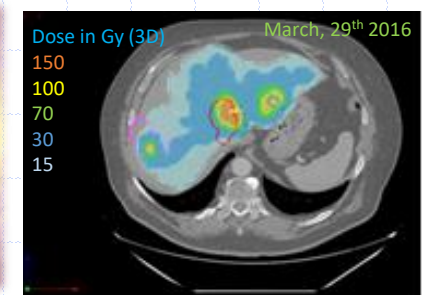
## RADIOTHEAPIE METABOLIQUE β-

- Hyperthyroïdies
- 131<sub>53</sub>I
- Cancers différenciés de la thyroïde



- Mono-arthrites inflammatoires chroniques: Synoviorthèses au <sup>169</sup><sub>68</sub>Er, <sup>186</sup><sub>75</sub>Re, <sup>90</sup><sub>39</sub>Y
- Cancers neuroendocrines: <sup>177</sup>/<sub>71</sub>Lu DOTATE
- Cancers de prostate <sup>177</sup>/<sub>71</sub>Lu PSMA
- Cancers hépatiques <sup>90</sup><sub>39</sub>Y MICROSPHERES





• Antalgie des métas osseuses : 89 Sr ou 153 Sm - DP

## Annale 2° session 2022-2023

Un patient présentant une monoarthrite du genou droit va bénéficier d'une radiothérapie métabolique au cours d'une synoviorthèse isotopique (injection dans la capsule articulaire du radiotraceur). En fonction de la taille de l'articulation à traiter, le médecin dispose pour ce type de traitement de 3 isotopes émetteurs bêta moins purs : l'erbium 169 ( $^{169}_{68}Er$ , énergie moyenne de la particule bêta moins : 100 keV), le rhénium 186 ( $^{186}_{75}Re$ , énergie moyenne de la particule bêta moins : 320 keV) et l'yttrium90 ( $^{90}_{39}Y$ , énergie moyenne de la particule bêta moins : 900 keV). On rappelle que la portée P (en mm) d'un électron d'énergie E (en keV) dans un tissu biologique peut être évaluée par la relation P (mm) = E(keV)/200.

1- Trajectoire de l'électron ?

2- Portée d'une bêta moins: Définition ?

3- Portée moyenne des divers isotopes ?

4- Dose absorbée au foie ?

Ligne brisée

Distance maximale parcourue par les électrons dans la direction initiale

Er : 100/200 = 0,5 mm ; Re : 320/200 = 16 mm ; Y : 900/200 = 4,5 mm

O Gy

5- Mécanisme de destruction du tissu synovial ? Ionisation des atomes de la synovie ; radiolyse de l'eau

6- Quel isotope pour un genou ? Y car grosse articulation

## DOSAGES RADIOIMMUNOLOGIQUES

Emetteurs X/γ basse énergie, affinité: <sup>125</sup><sub>53</sub>I

Sensibilité < picomole</li>



- Désormais peu utilisée hors recherche
  - Neurotransmetteurs, hormones,
  - vitamines, peptides, marqueurs tumoraux

### DOSIMETRIE

Quelques références 1:

Irradiation moyenne:

France: 3 mSv/an naturelle

+ 1,5 mSv/an médicale

Ramsar (Iran): 250 mSv/an

CT injecté <sup>2</sup> : 20 mSv

Au niveau mondial:

202 10<sup>3</sup> homme.Sv pour 33 . 10<sup>6</sup> scintigraphies (5 %) 4000 10<sup>3</sup> homme.Sv pour 3600 . 10<sup>6</sup> radiographies (95 %)

	Procédé	Dose efficace (mSv)
	Rayons X: 0,01 – 10 mSv	
	Membres et articulations (sauf	<0,01
	hanche)	
	Thorax (vue PA simple)	0,02
	Crâne	0,07
***	Rachis dorsal	0,7
	Rachis lombaire	1,3
	Hanche	0,3
	Bassin	0,7
	Abdomen	1,0
	UIV	2,5
	Déglutition barytée	1,5
	TOGD (transit oeso- gastro-	3
	duodénal)	_
	Transit du grêle	3
	Lavement baryté	7
	TDM crânienne	2,3
	TDM thoracique	8
	TDM abdominale ou pelvienne	10
	TDM TAP non diagnostique	7
	Scintigraphie:	0,3 – 6 mSv
	Ventilation pulmonaire (Xe-133)	0,3
**	Perfusion pulmonaire (Tc-99m)	1
	Rein (Tc-99m)	1
	Thyroïde (Tc-99m)	1
	Oc /Tc 00m)	4

Scintigraphie:	0,3 – 6 mSv
Ventilation pulmonaire (Xe-133)	0,3
Perfusion pulmonaire (Tc-99m)	1
Rein (Tc-99m)	1
Thyroïde (Tc-99m)	1
Os (Tc-99m)	4
Exploration dynamique	
cardiaque (Tc-99m), MIBG	6
TEP pour crâne (18F-FDG)	5

European Commission. Radiation protection 118: Referral guidelines for imaging. Office for Official Publication of the EC; 2001.

<sup>1</sup> http://www.unscear.org/unscear/en/publications/2008 1.html

<sup>&</sup>lt;sup>2</sup> Rapport DRPH/SER n°2010-12; Rapport DRPH/SER n°2010-12

### SYNTHESE 4

- · Radiothérapie métabolique vectorisée :
  - IRA-thérapie des cancers thyroïdiens différenciés, hyperthyroïdies
  - Synoviorthèse des monoarthrites
  - RIV des tumeurs neuroendocrines, hépatiques, prostatiques
- RIA : sensibilité ≈ picomole : peu utilisée
- Dosimétrie
  - En général de 0,5 à 10 mSv
  - Du même ordre que celle engagée en radiologie et TDM (X)

#### IMAGERIE TRACEURS SCINTIGRAPHIE DIAGNOSTIC THERAPIE RIA DOSIMETRI

## CONCLUSION

#### Imagerie fonctionnelle et métabolique :

- physiologique, non invasive et peu irradiante
- couvrant toutes les spécialités médicales
- rôle important dans le diagnostic et le traitement
- impliquant des équipes multidisciplinaires
  - · paramédicaux, techniciens, médecins, pharmaciens,
  - physiciens, chimistes, informaticiens...

### En fort développement :

- Recherche: radio-traceurs, protocoles, caméras...
- Économique :
  - + 11% de TEPs / an en moyenne depuis 2013
  - + 5% de patients pris en charge / an en moyenne

Usage civil des technologies nucléaires



## MERCI POUR VOTRE ATTENTION





Référentiels d'imagerie médicale accessibles gratuitement en ligne :

Livre « bleu » : https://www.cnp-mn.fr/les-fondamentaux-de-limagerie-medicale-acces-public/

Livre « rouge »: https://cerf-edu-site.com/

Ou par le minisite : <a href="https://scinti.edu.umontpellier.fr/enseignements/bibliographie-choisie/">https://scinti.edu.umontpellier.fr/enseignements/bibliographie-choisie/</a>